

Phylogéographie, structure génétique et évolution morphologique de la souris domestique sur l'archipel des Orcades



Pascale Chevret

Ronan Ledevin

Sabrina Renaud



ANR
BIGTOOTH

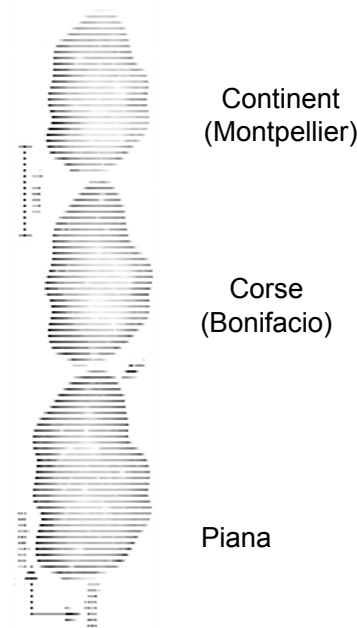
ANR

BIGTOOTH

2012-2015



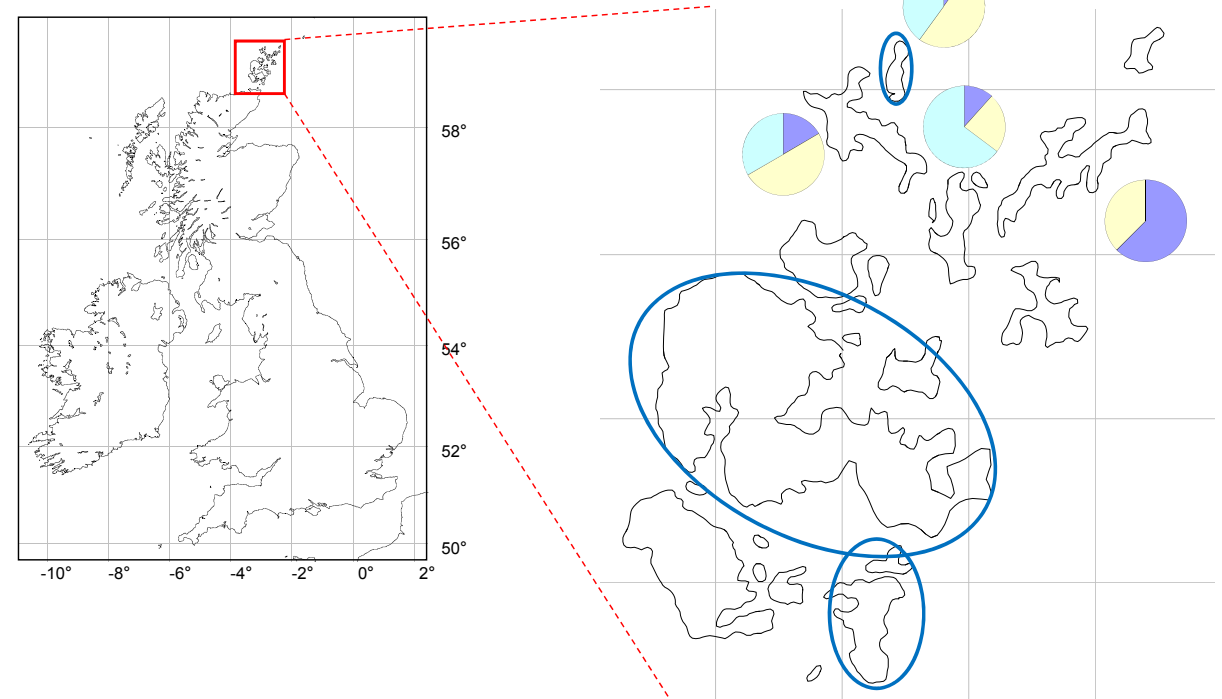
Continent (Montpellier) Tenerife Hierro



Corse (Bonifacio)

Piana

Archipel des Orcades
Mission 1992 (Guila Ganem)
Grande diversité morphologique



1ère molaire supérieure

■ normal



■ bourrelet



■ cuspide



Les Orcades (Novembre 2012)

Les Orcades

... Une espèce invasive commune...

La souris domestique
(*Mus musculus domesticus*)

Une colonisation récente



Arrivée durant l'âge du fer
~2500 yrs
mtDNA : signature Viking
~1200 yrs

« Orkney mtDNA lineage »



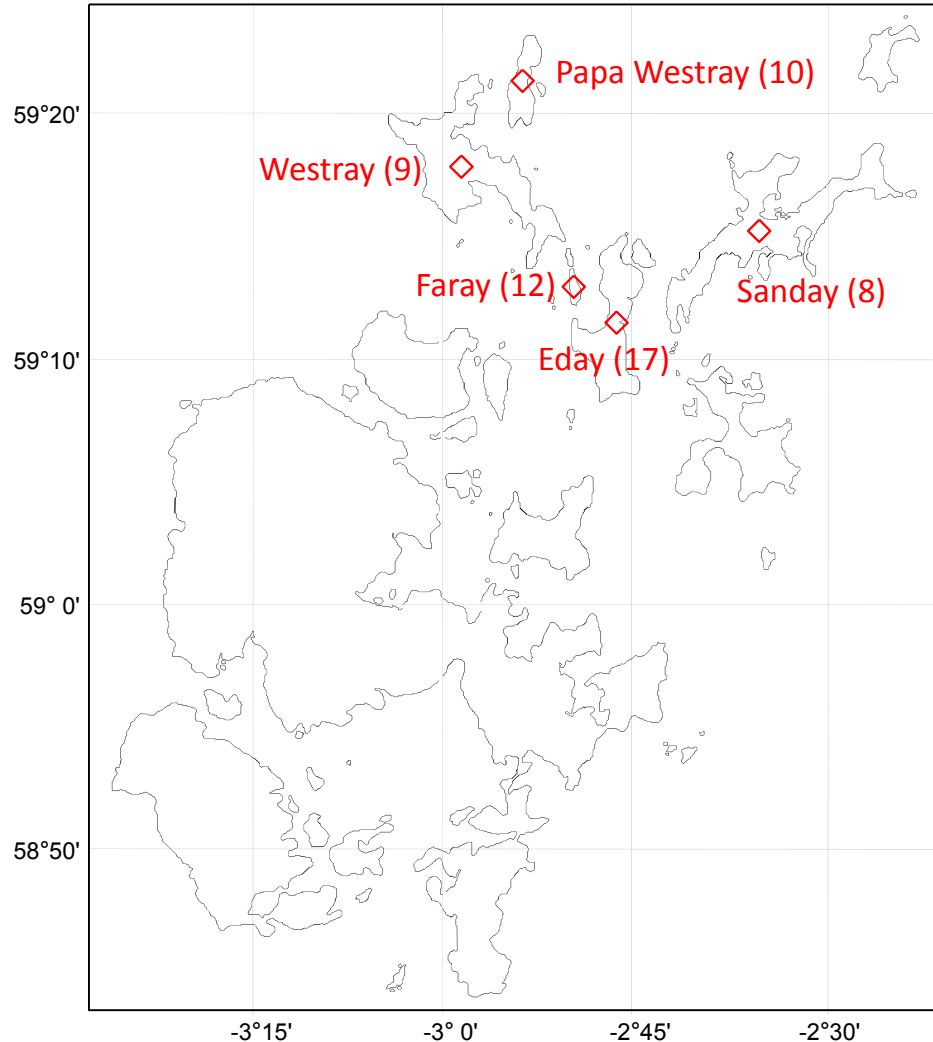
Evolution morphologique ?



Searle et al. 2009
Jones et al. 2011

Echantillonnage dans l'archipel des Orcades

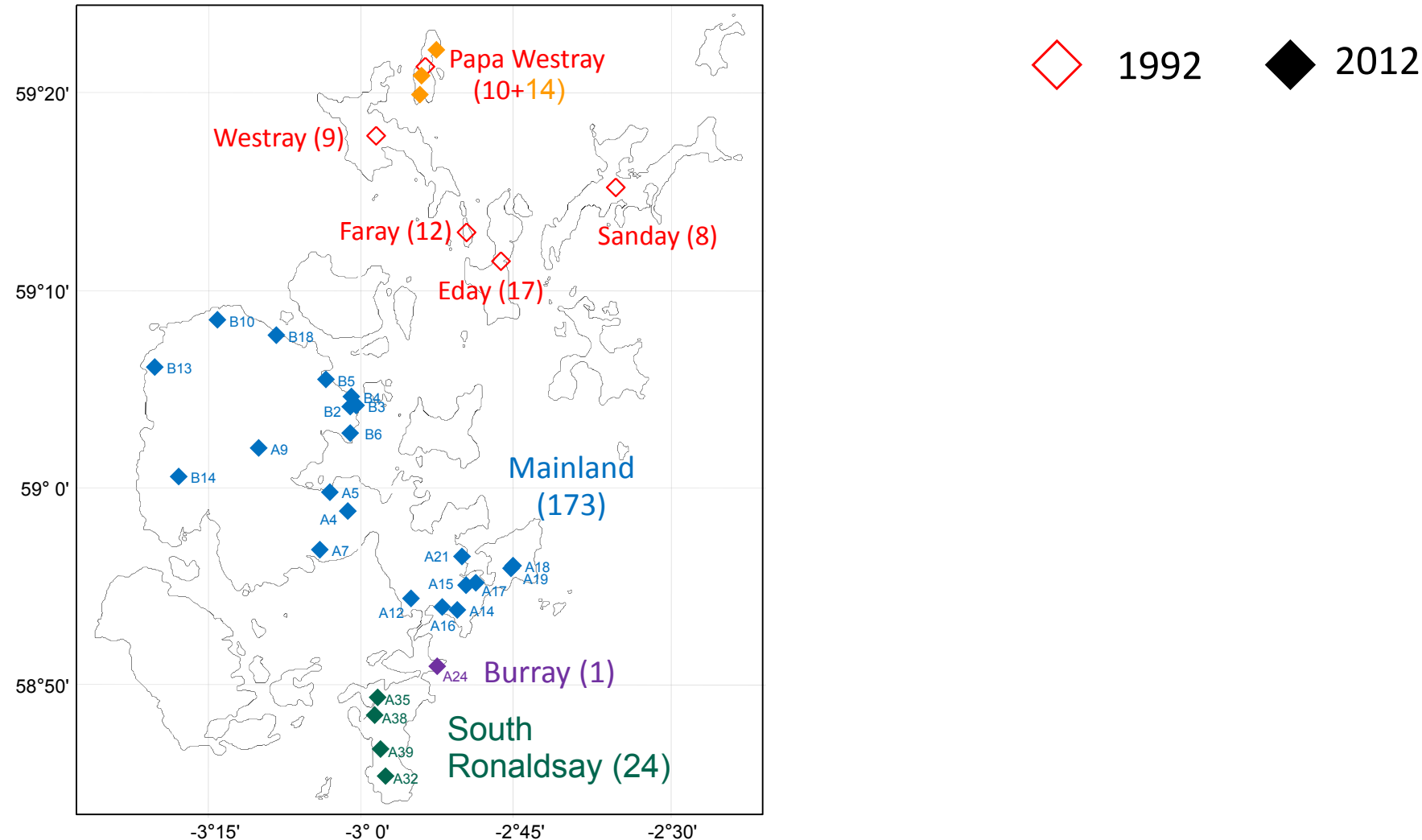
2 missions



◇ 1992

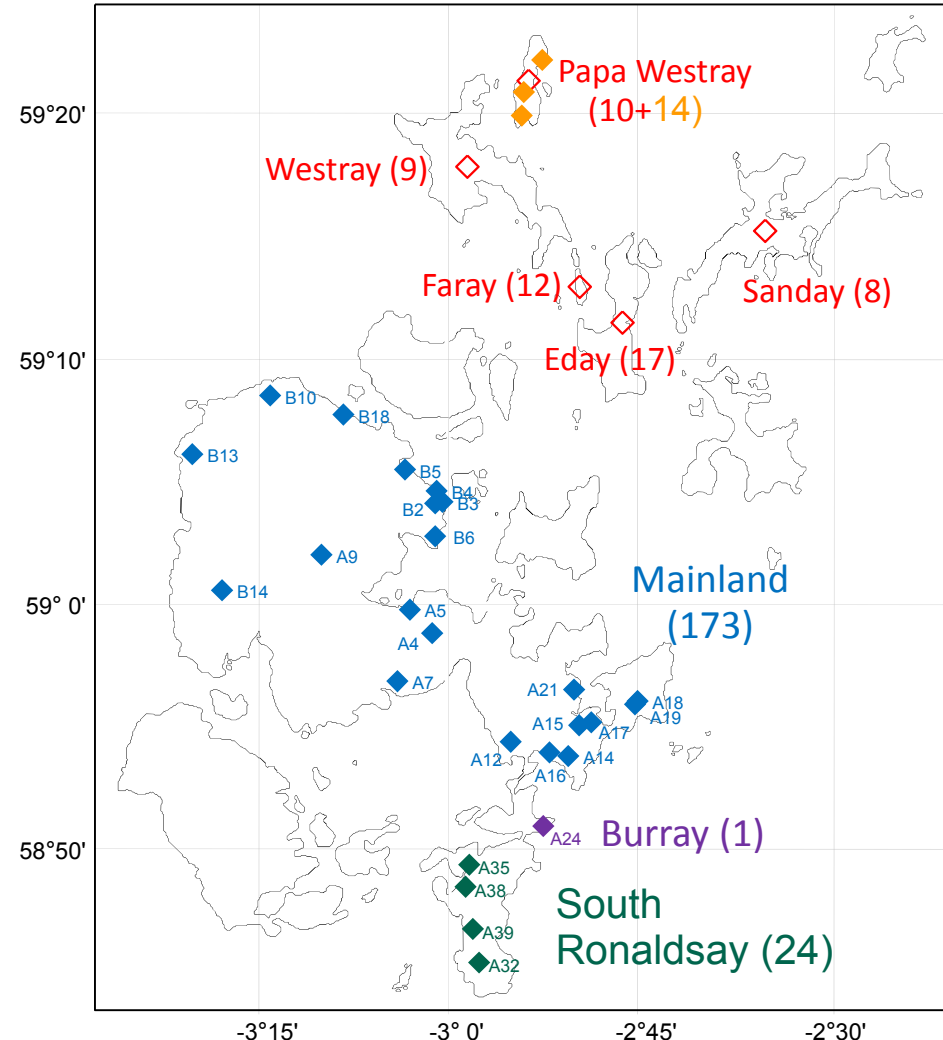
Echantillonnage dans l'archipel des Orcades

2 missions



Méthodes

2 missions



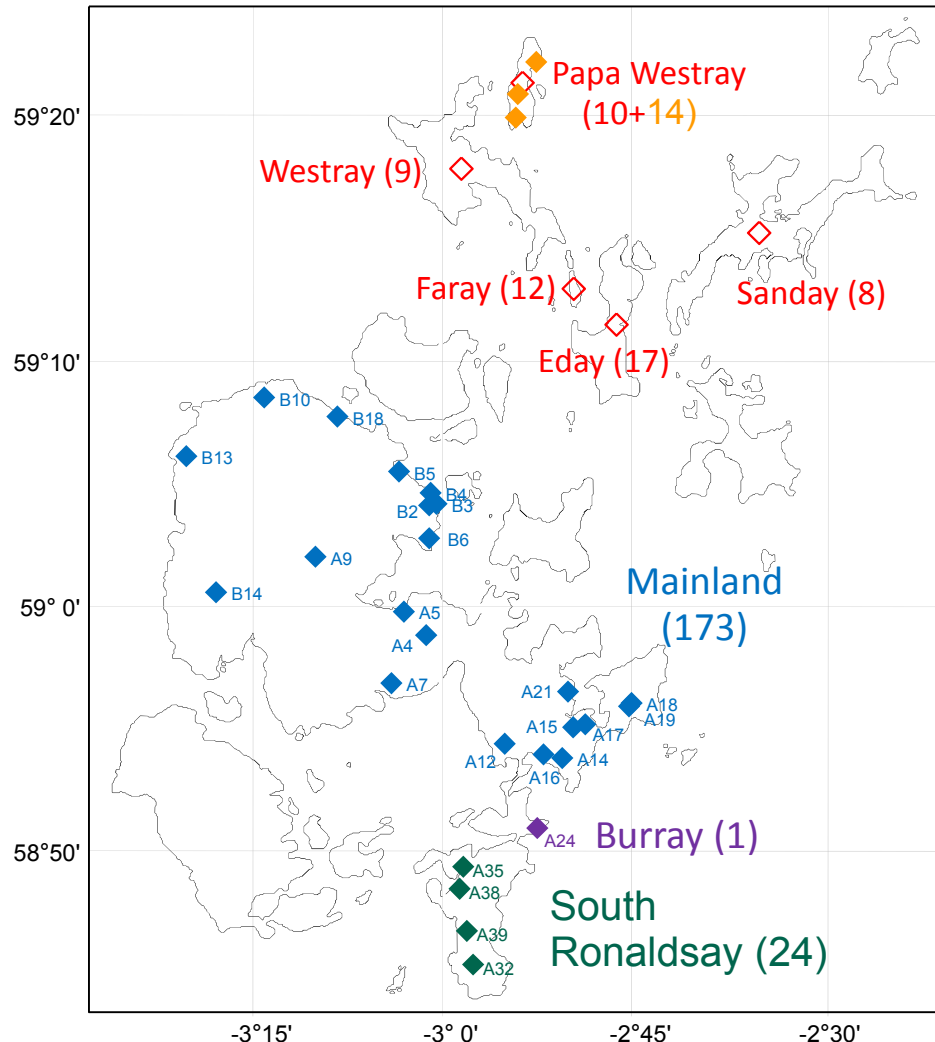
1992 2012

Analyses
morphométriques et moléculaires

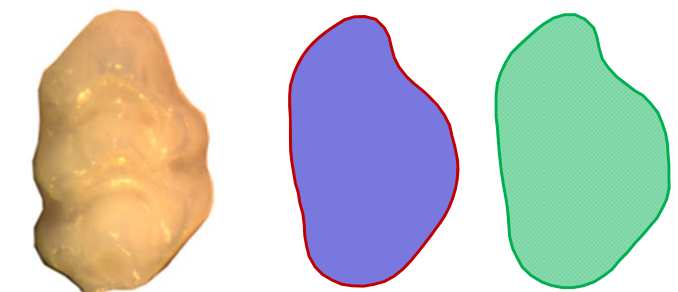
Méthodes

2 missions

1992 2012



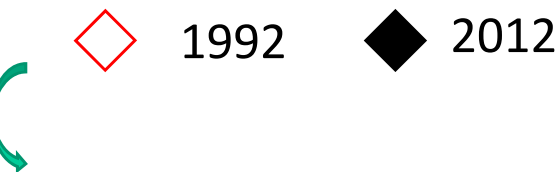
Analyses morphométriques : 249 souris
1^{ère} molaire sup., contour 2D



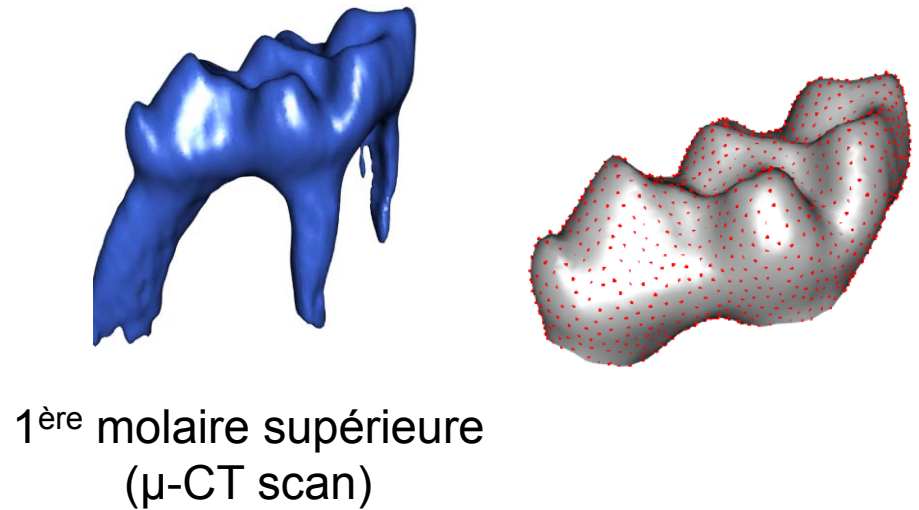
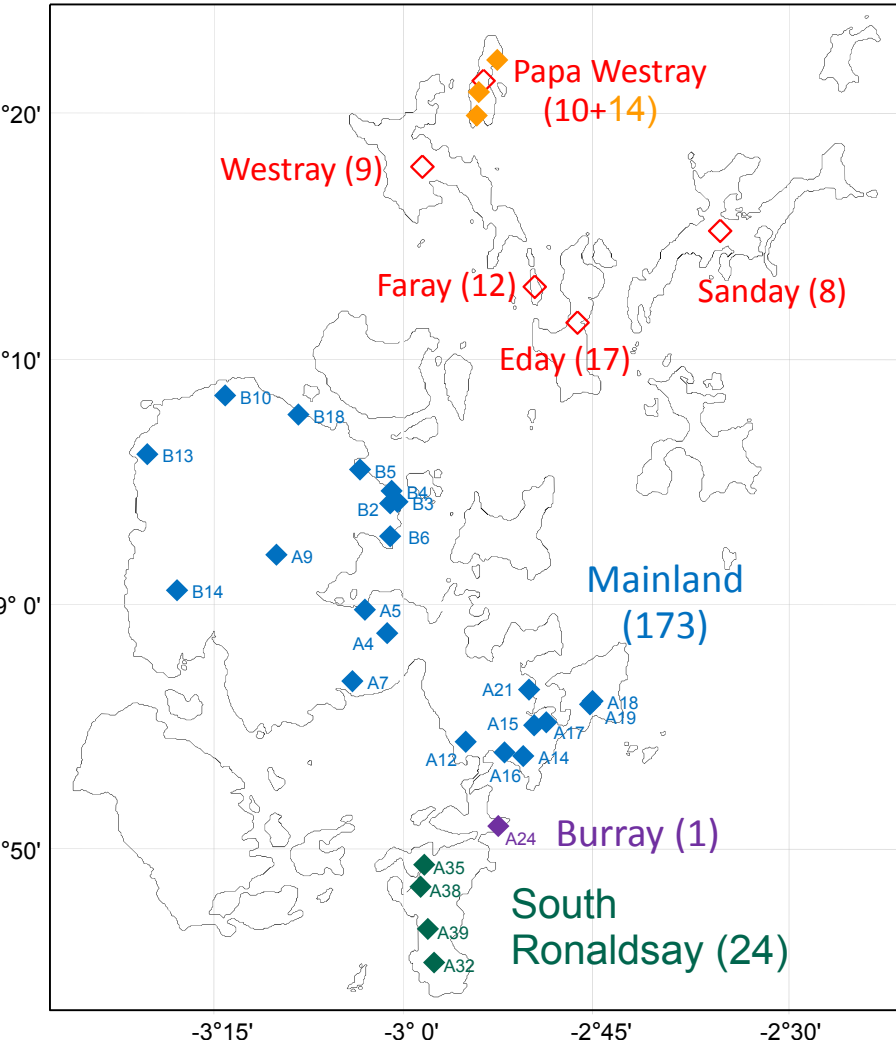
Variables de forme
Analyses multivariées

Méthodes

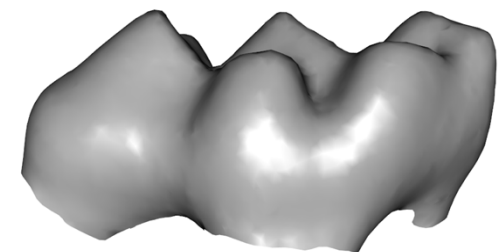
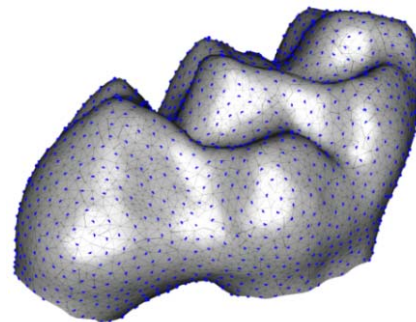
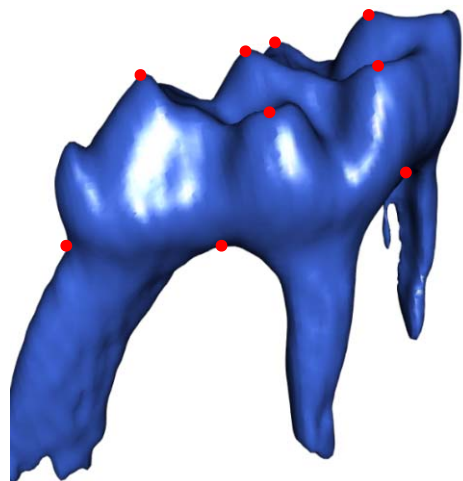
2 missions



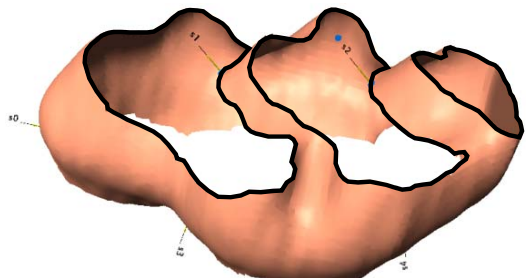
Analyse morphométrique 3D: 30 souris
Faray, Eday, Papa Westray, Sanday



3D quantification of tooth shape



Adjustement of a template
1588 sliding-landmarks



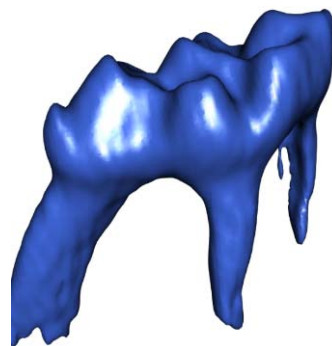
1532 sliding-landmarks

1532 x 3 variables...
Reduction of dimensionality: PCA
(Principal Component Analysis)
5 PCs ($\Sigma > 60\%$)



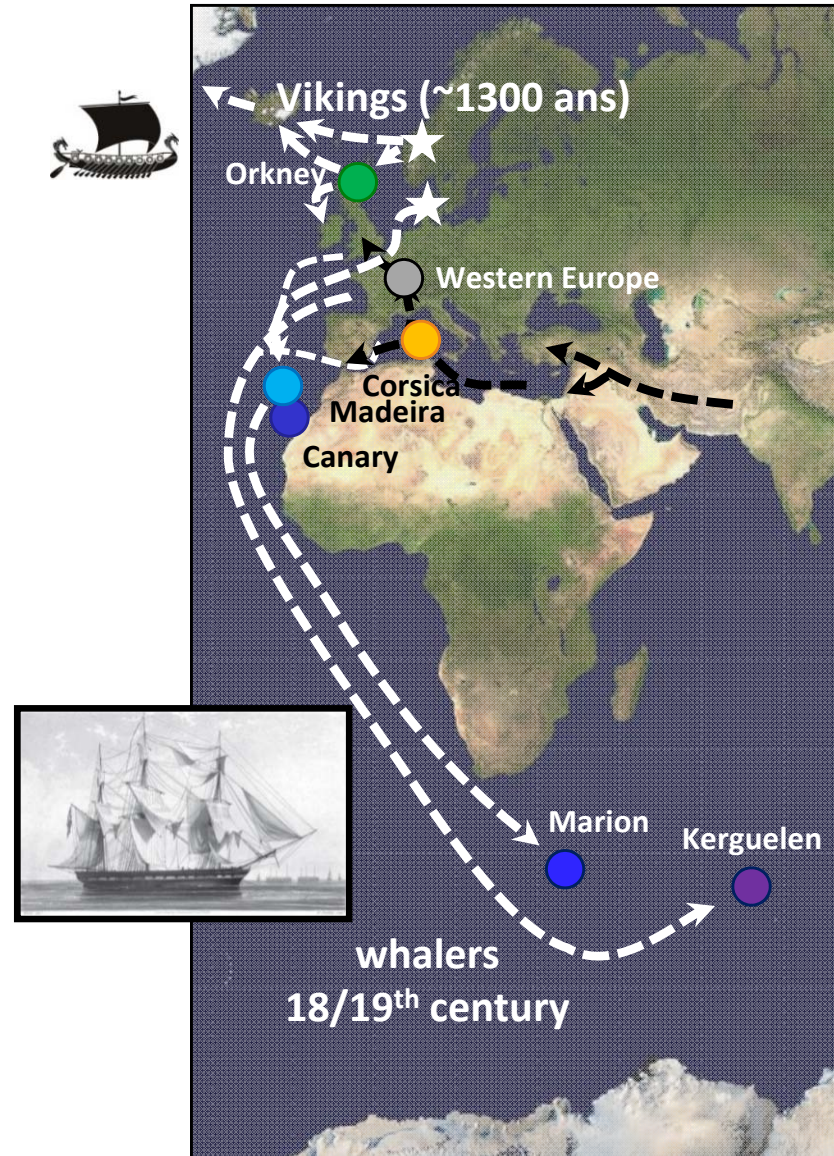
Pourquoi et comment la forme de la dent évolue Evolution insulaire de la souris

Population fondatrice
(phylogénie)



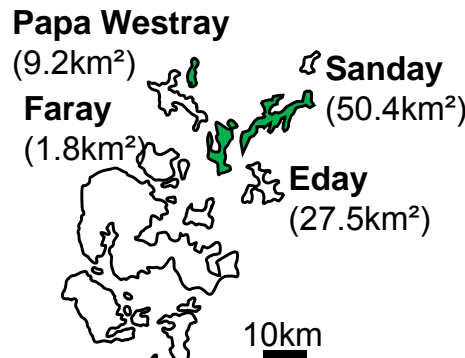
Climat

Ecologie

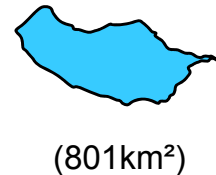


Echantillonnage 3D

Orcades



Madère

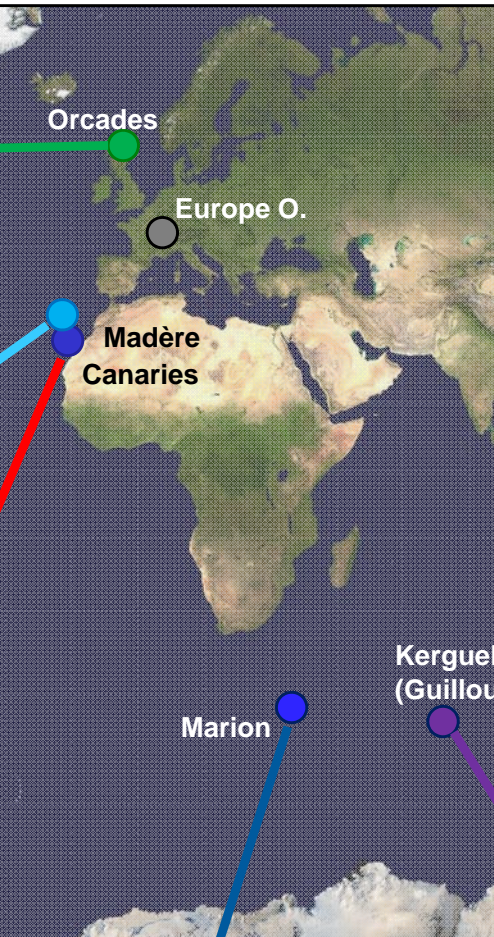


La Palma
(706 km²)

Tenerife
(2034 km²)

El Hierro
(278 km²)

20km



Marion

(290 km²)

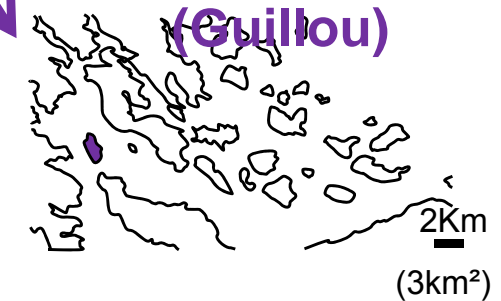


Des conditions insulaires...

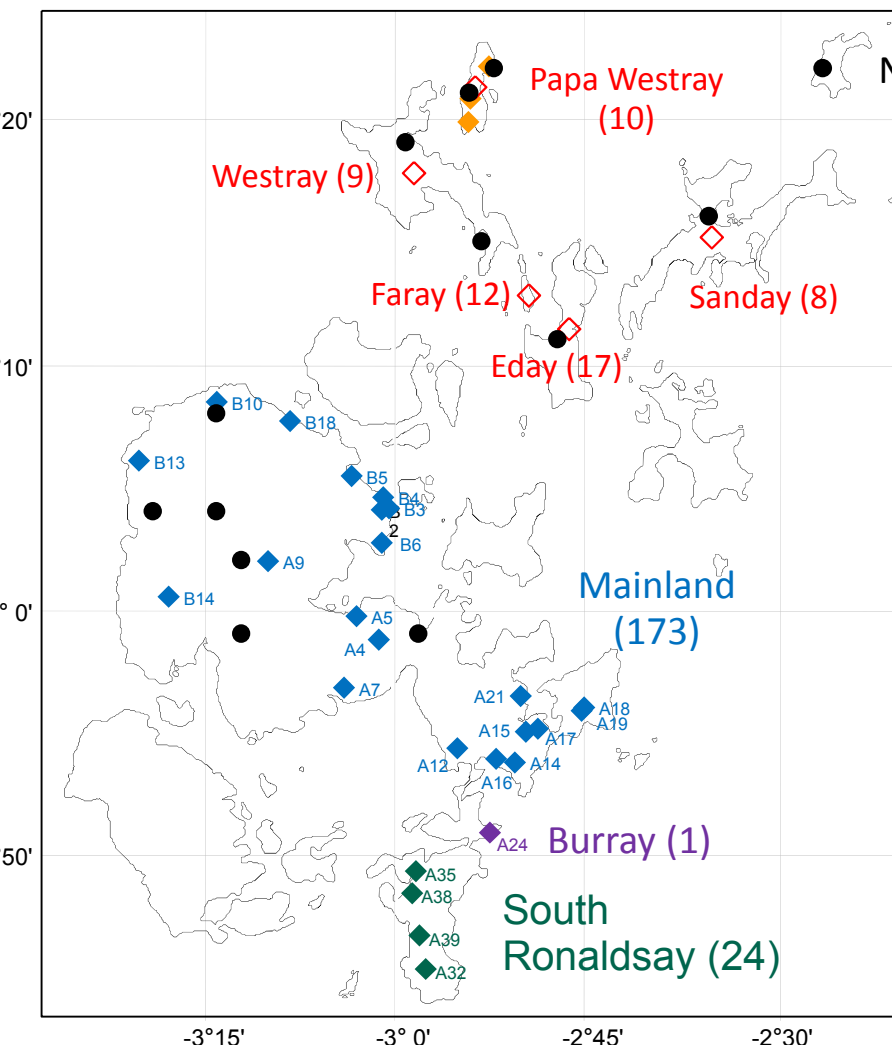
Une phylogéographie complexe

Grande gamme d'environnements

Kerguelen (Guillou)



Méthodes



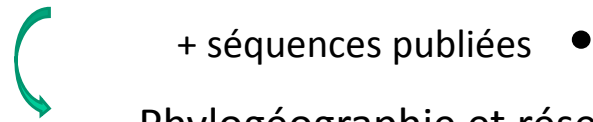
2 missions



Analyses morphométriques : 2D, 3D

Marqueurs moléculaires

- séquences mitochondrielles D-Loop (123 souris)



+ séquences publiées



Phylogéographie et réseau

- 21 marqueurs microsatellites (264 souris)



Structure génétique

Phylogéographie + Morphométrie 3D : 90 souris

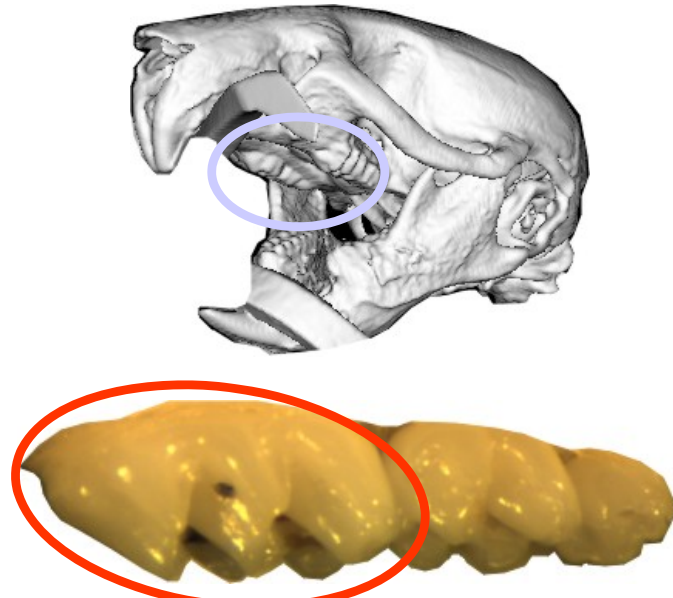
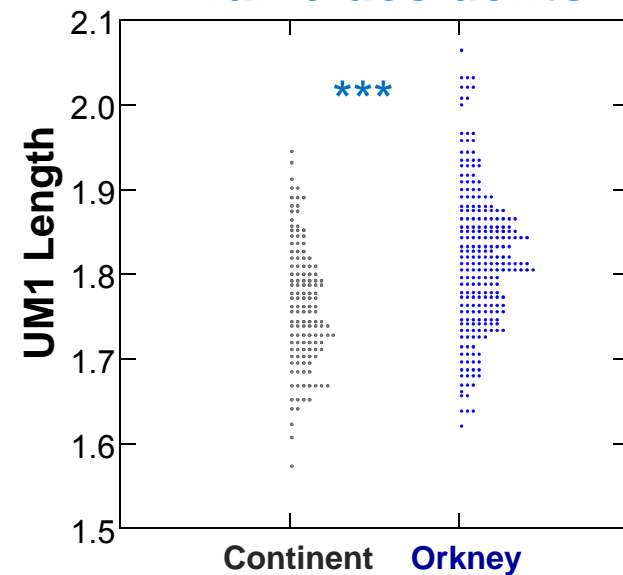
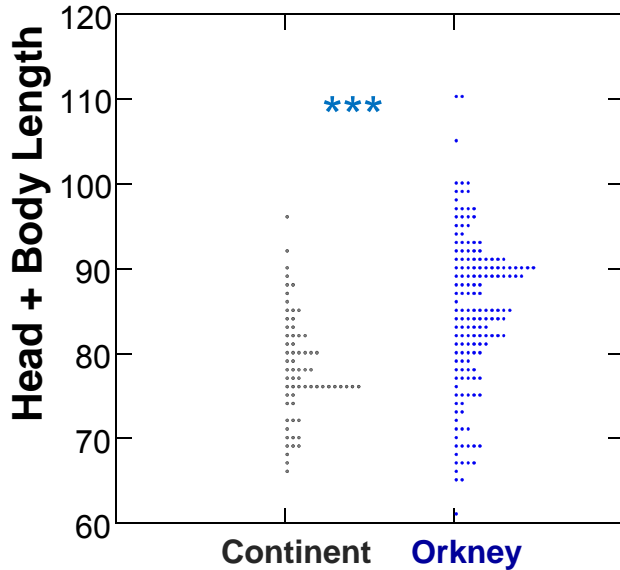
Génétique + Morphométrie 2D: 209 souris

Souris des Orcades, un cas d'évolution insulaire ?

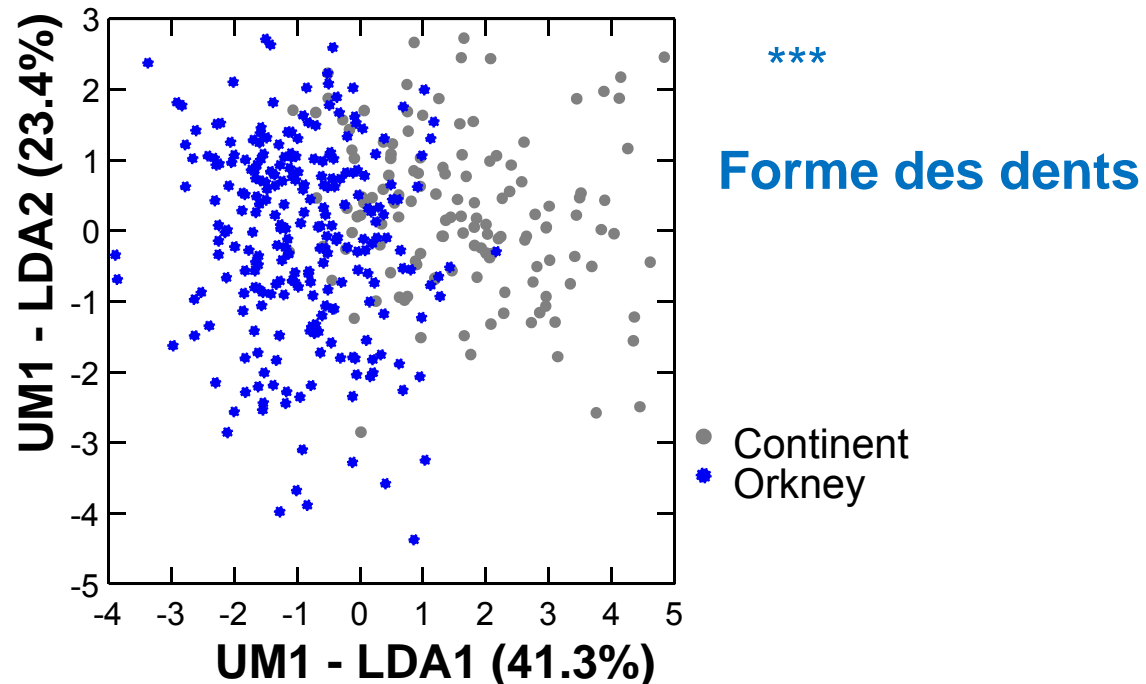
Taille des dents



Caractère d'intérêt
La molaire supérieure



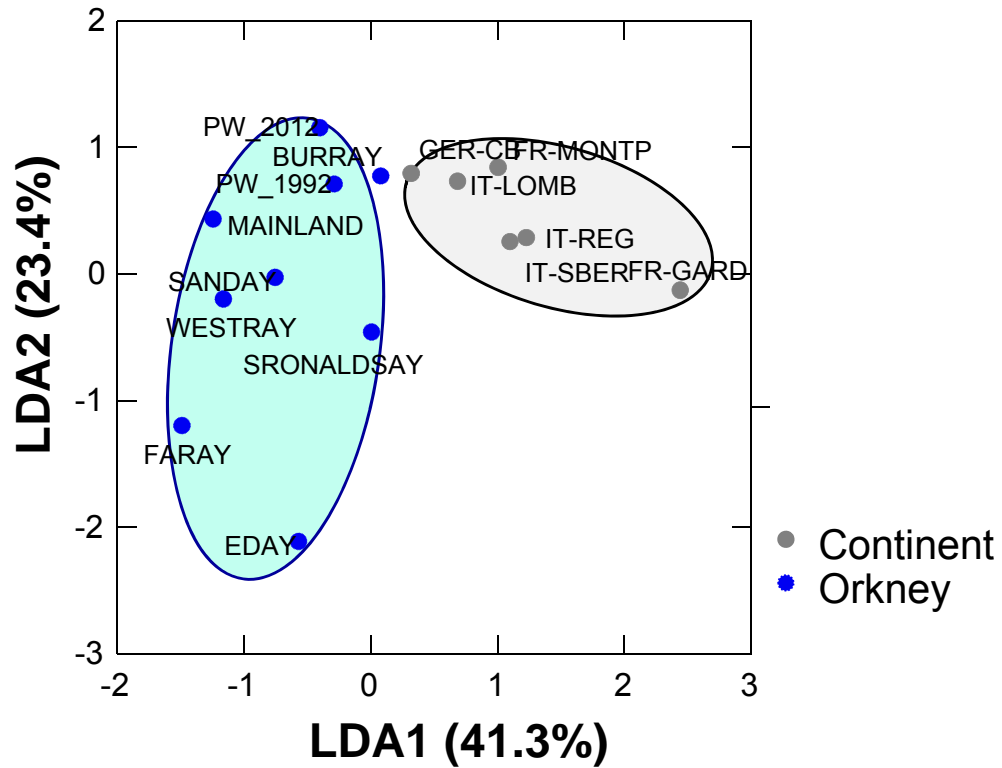
Evolution morphologique !



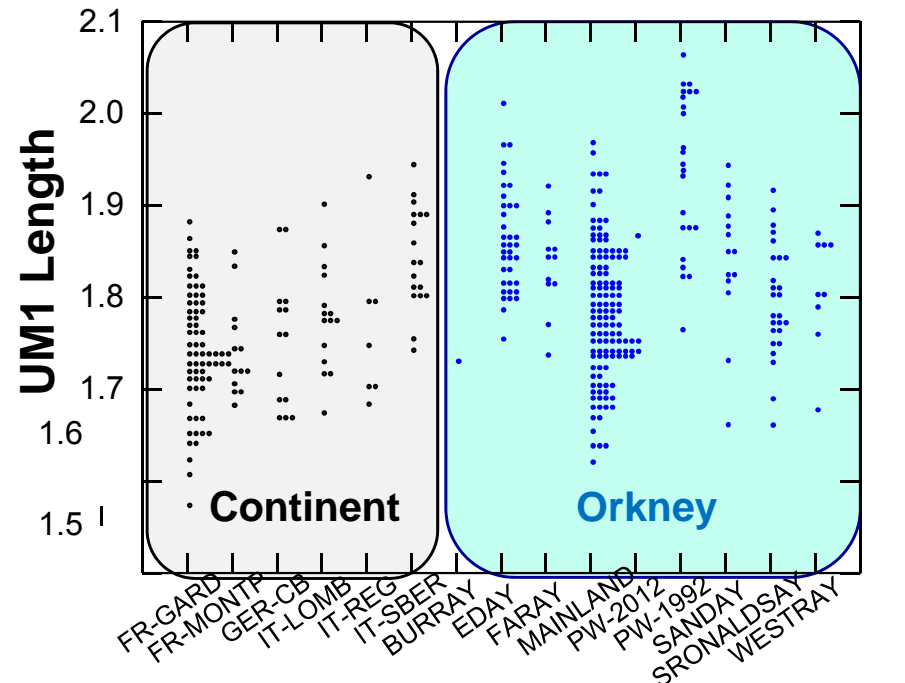
Différentes îles, et les souris ?



Forme des dents

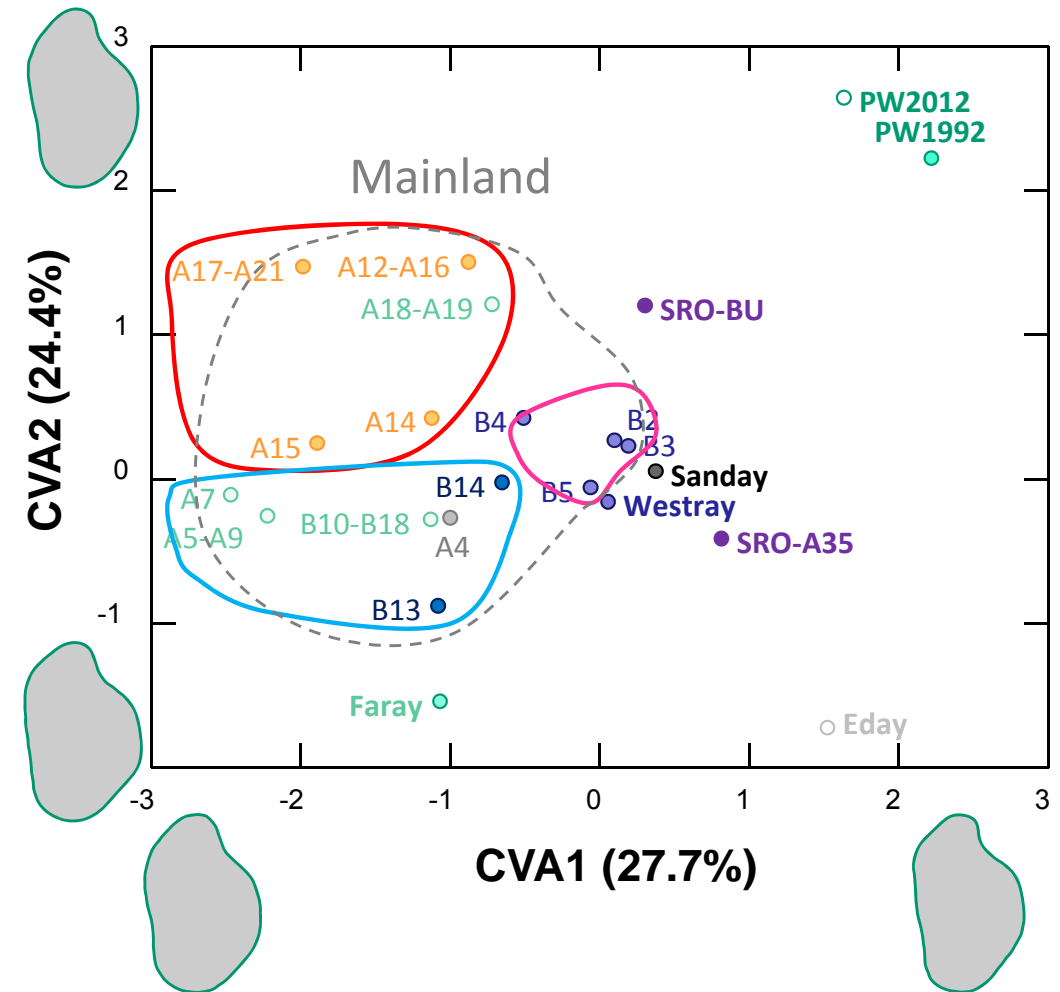
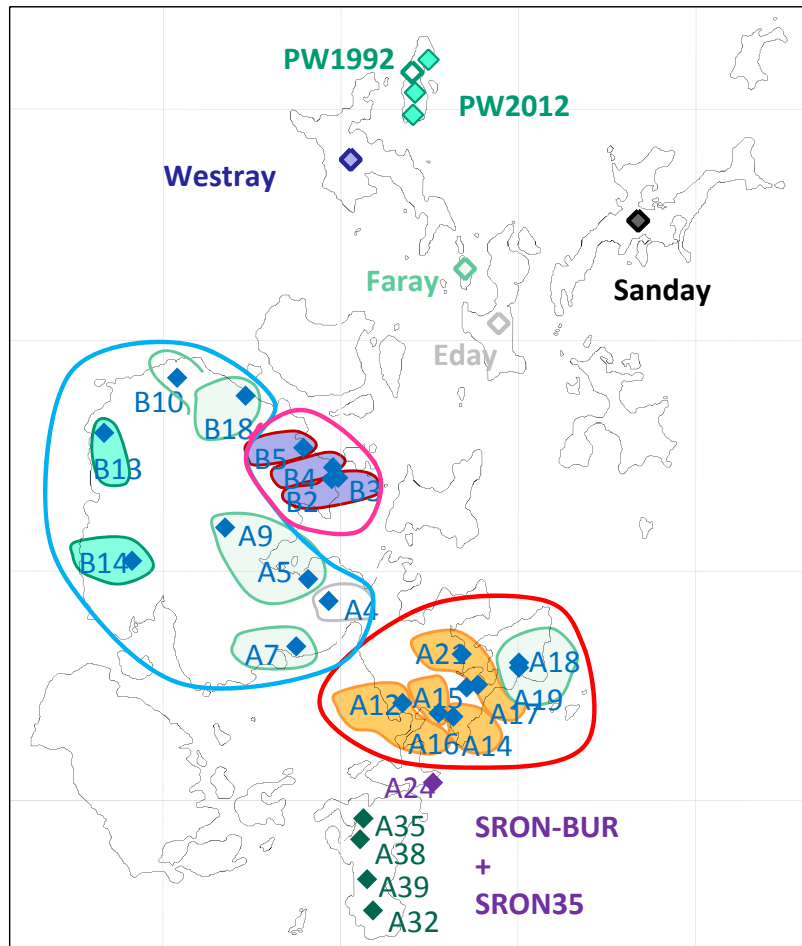


Taille des dents



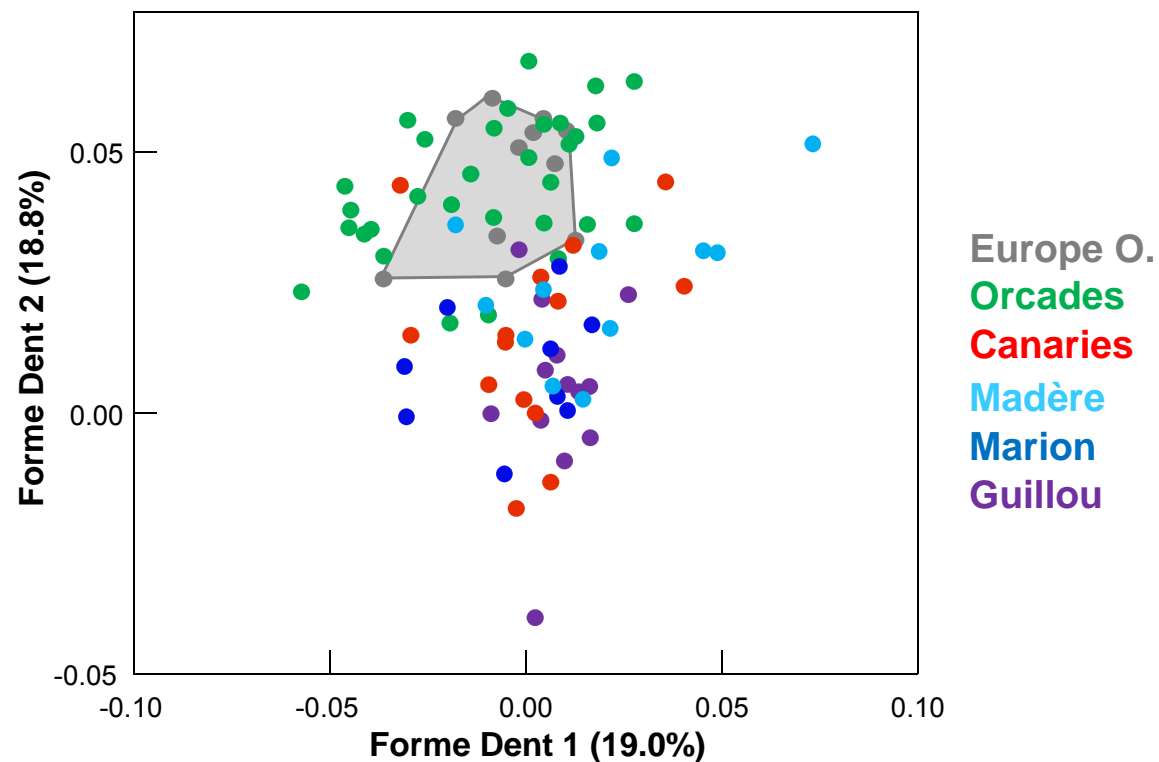
Evolution de la diversité locale ?

Différentiation morphologique 2D



Patrons de différentiation de forme 3D

ACP sur variables de forme



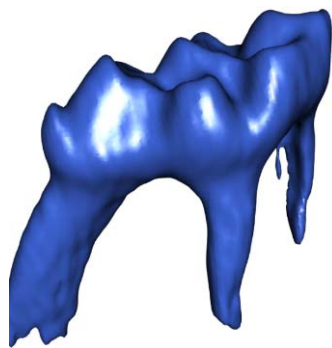
- ➡ Variation îles >> continent
- ➡ Différences entre archipels (Orcades \neq des autres)

Quels processus derrière cette variation insulaire?



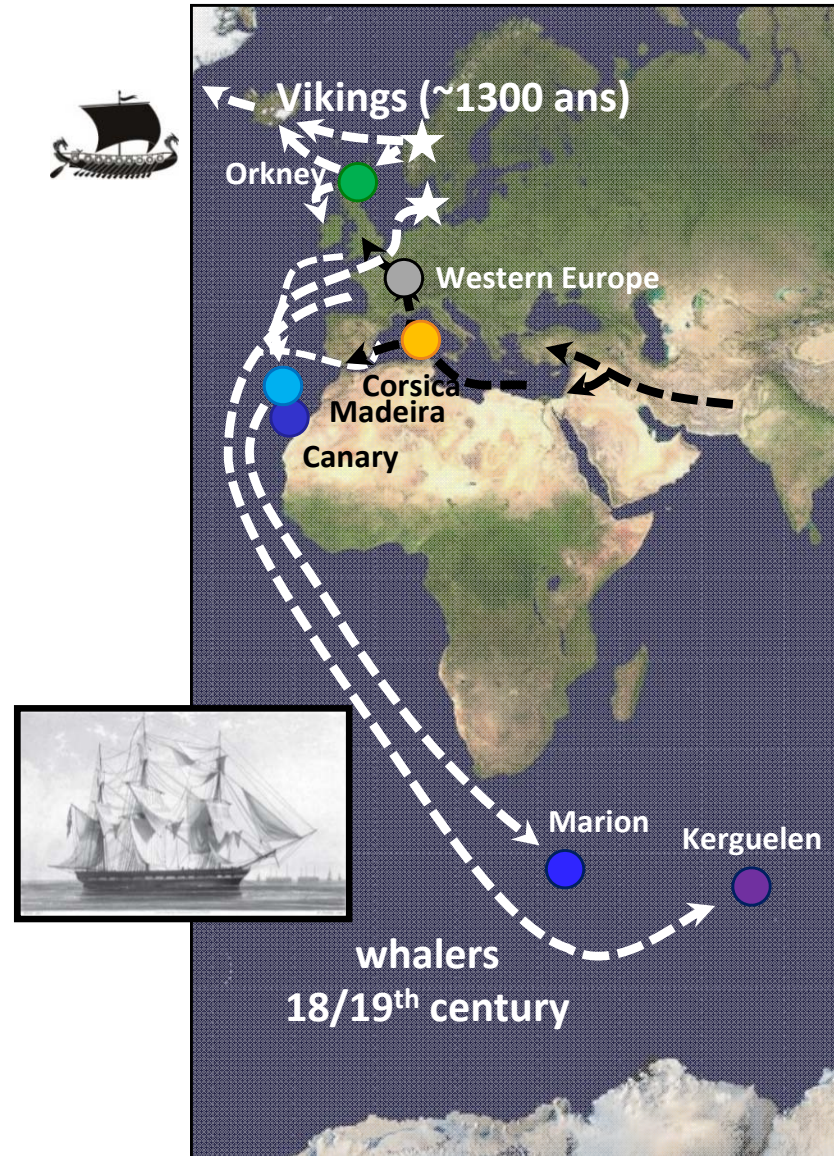
Pourquoi et comment la forme de la dent évolue Evolution insulaire de la souris

Population fondatrice
(phylogénie)

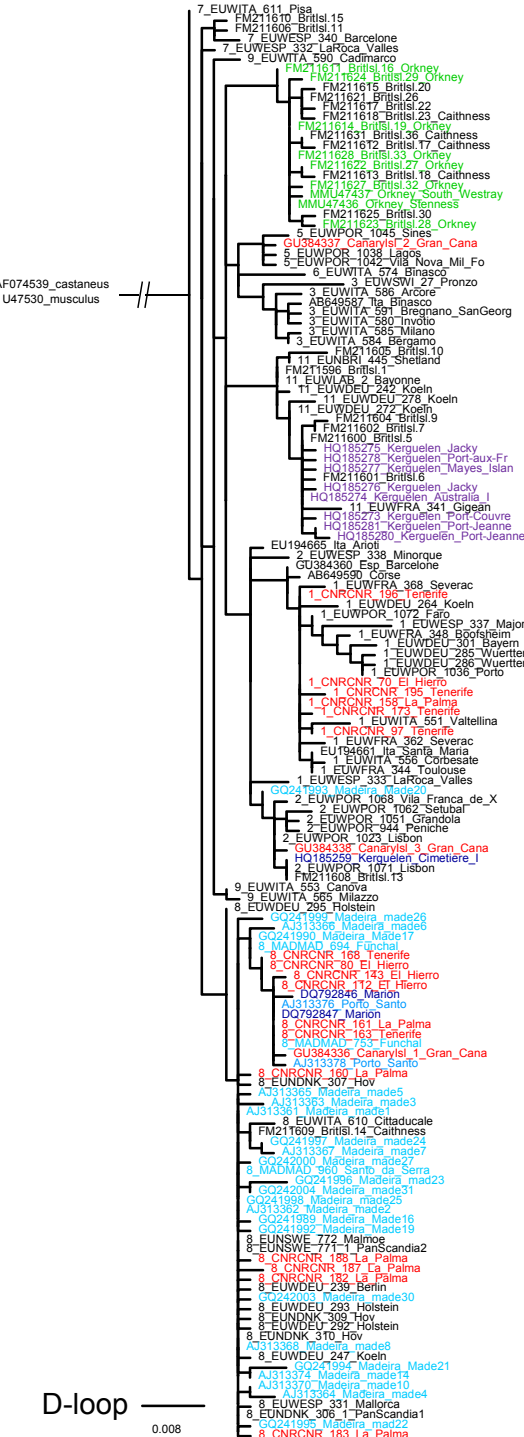
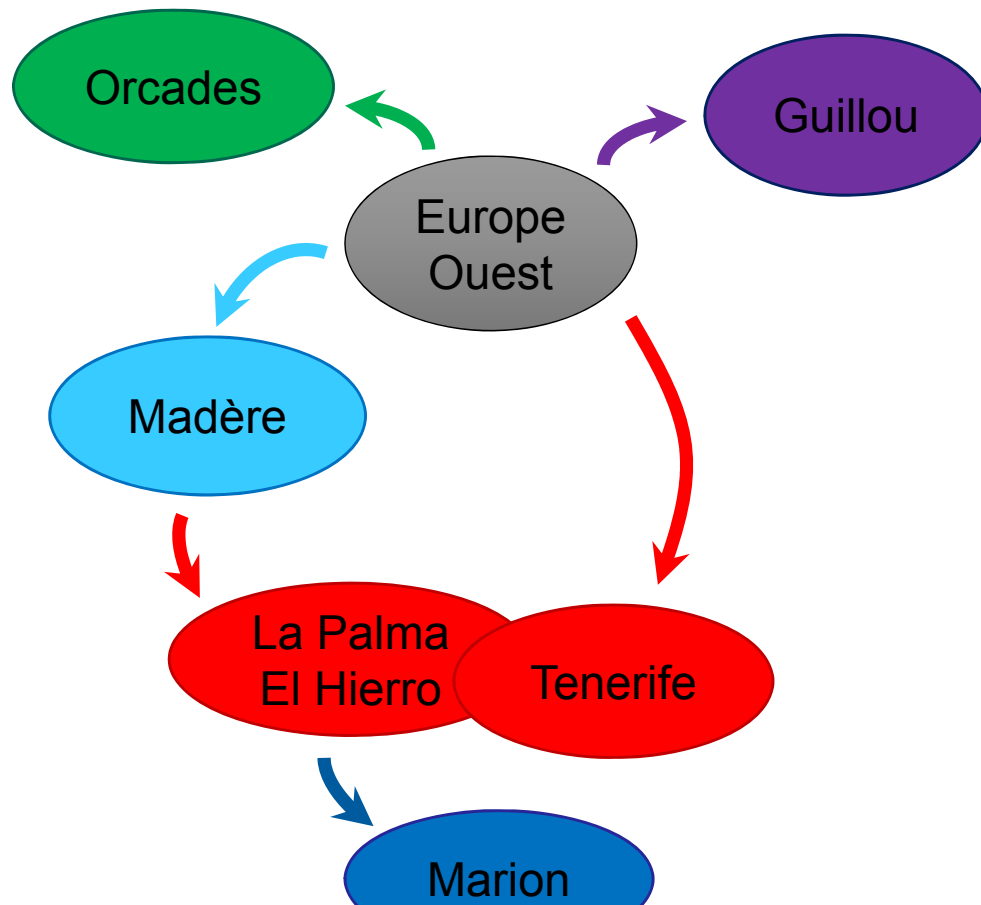


Climat

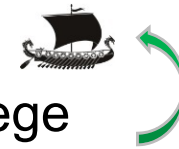
Ecologie



Phylogéographie



Orcades



Norvège

Kerguelen (Guillou)

Canaries (Tenerife)



Canaries (La Palma, El Hierro)

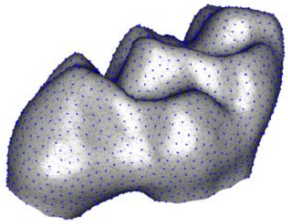


&
Madère

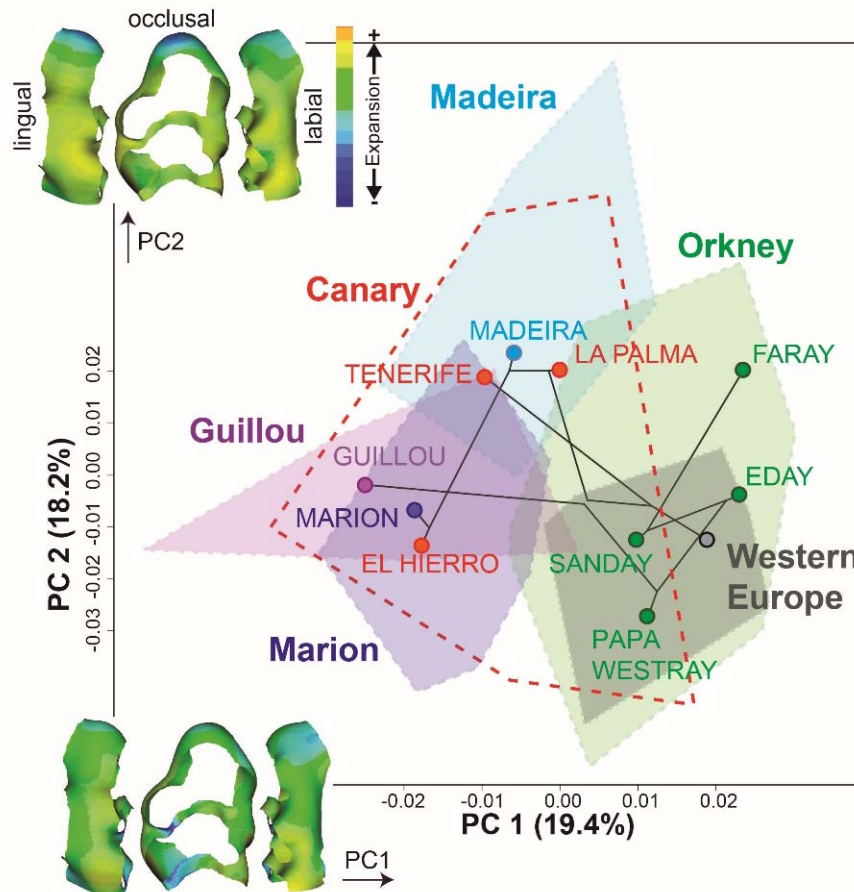


Danemark

Patrons de différentiation de forme 3D



Occurrences
d'évolution convergente



Iles:
Disparité
morphologique

Europe de l'Ouest :
Homogénéité
morphologique

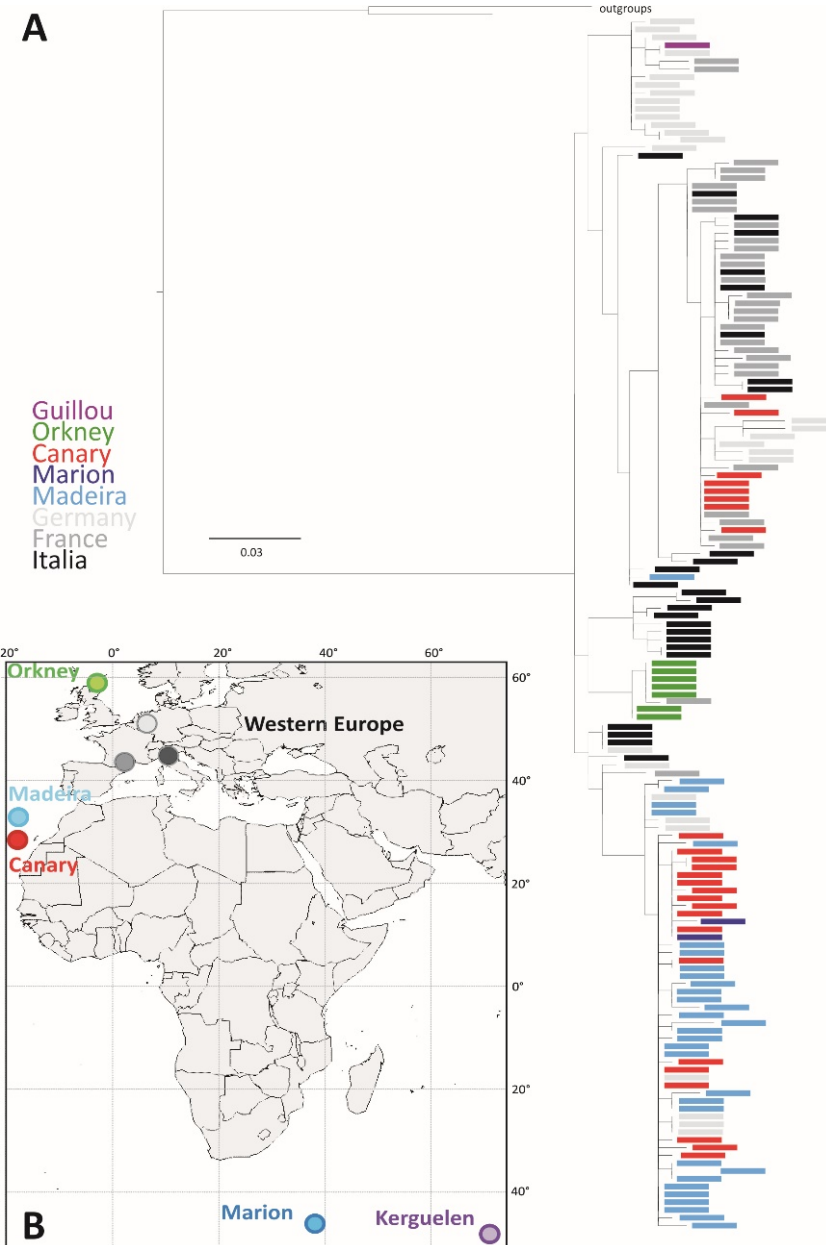
Facteurs ?

~ Phylogenie

~ Ecologie (compétition [ou pas] avec le mulot)

~ Environnement (variables bioclimatiques)

Comparaison de la forme de la dent avec les facteurs explicatifs (1) Phylogénie



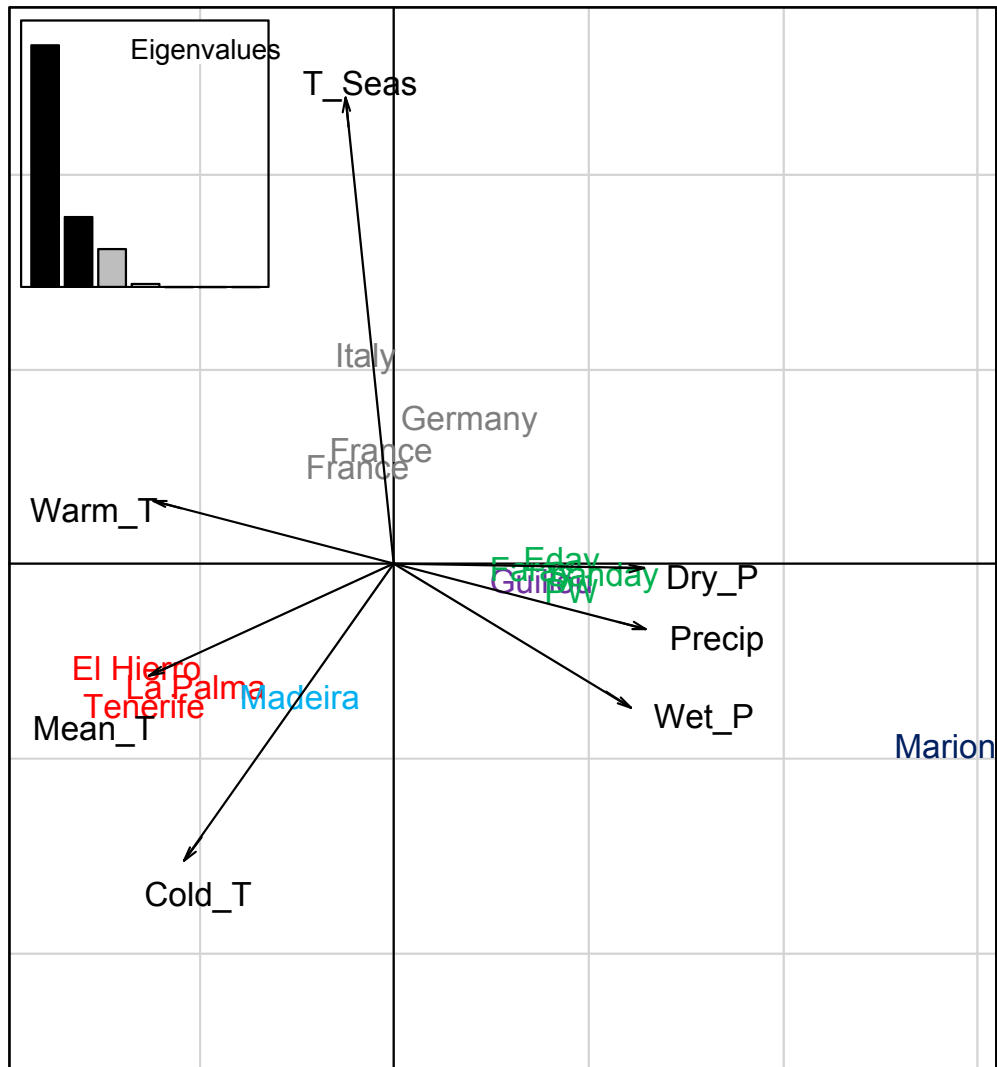
D-loop (mtDNA)
155 haplotypes, 874 positions

Matrice de distance (D-loop)

Principal Coordinate Analysis (PCOA)
4 axes $\Sigma > 90\%$

Moyenne par localité

Comparaison de la forme de la dent avec les facteurs explicatifs (2) Climat



WorldClim - Global Climate Data
Free climate data for ecological modeling and GIS

19 climatic data available

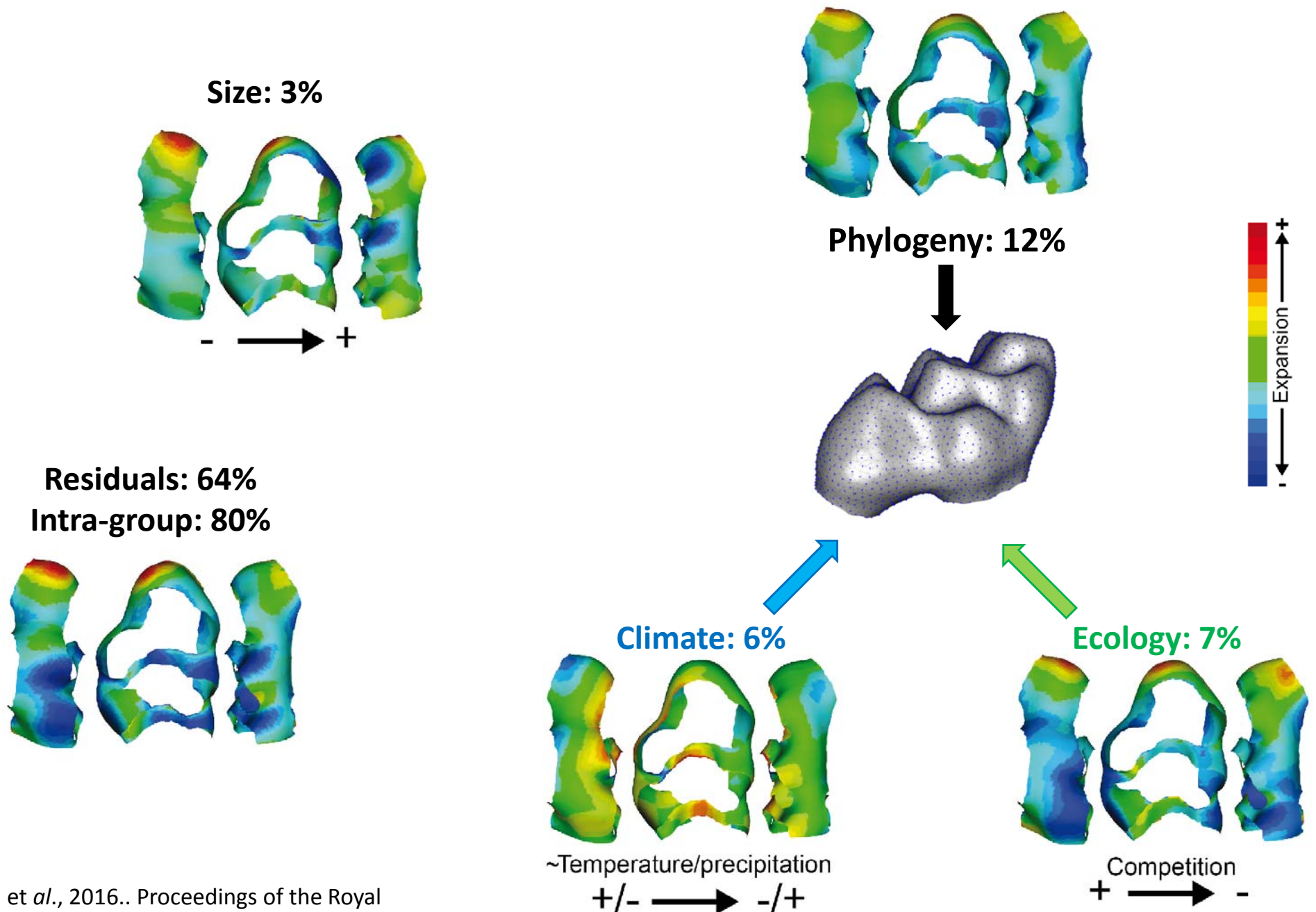


Annual mean temperature
Temperature seasonality
Mean warmest quarter
Mean coldest quarter
Annual precipitation
Precipitation of the wettest quarter
Precipitation of the driest quarter

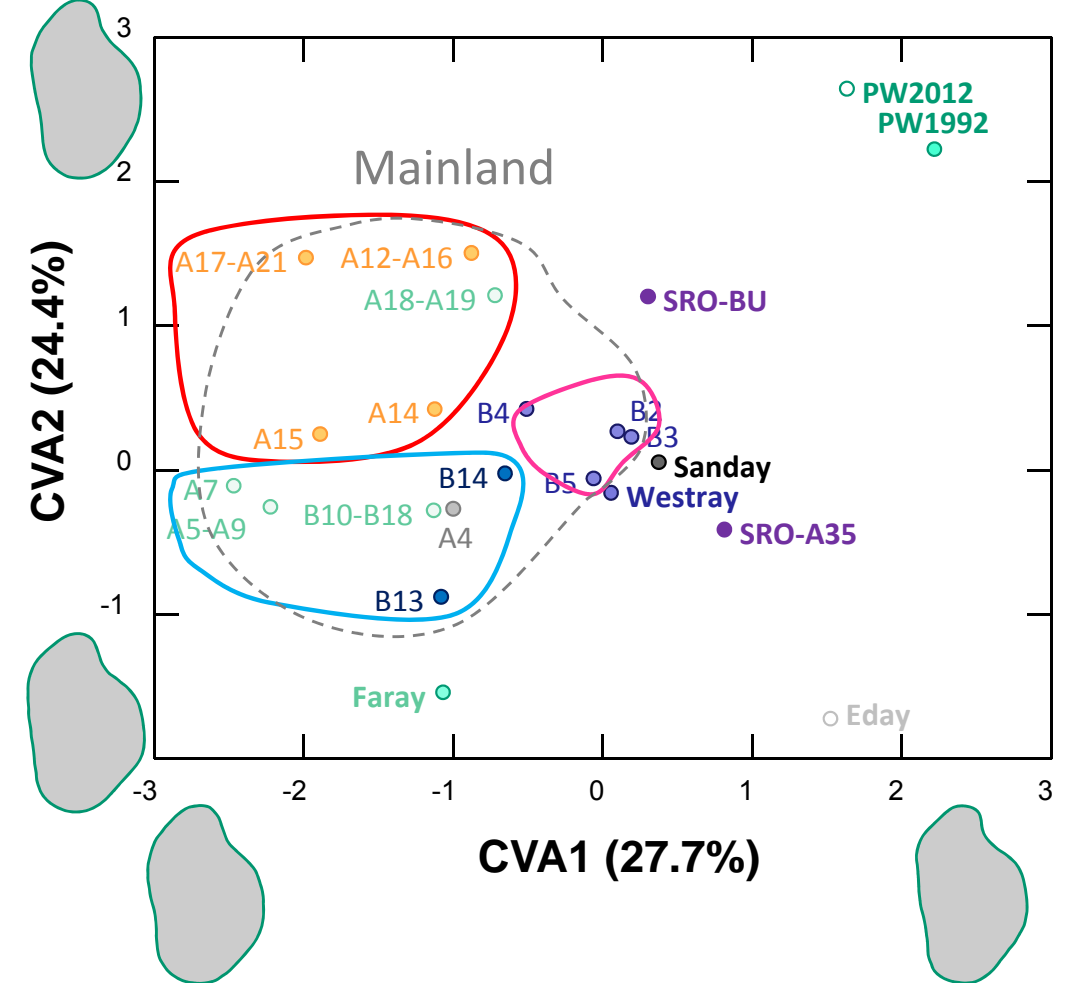
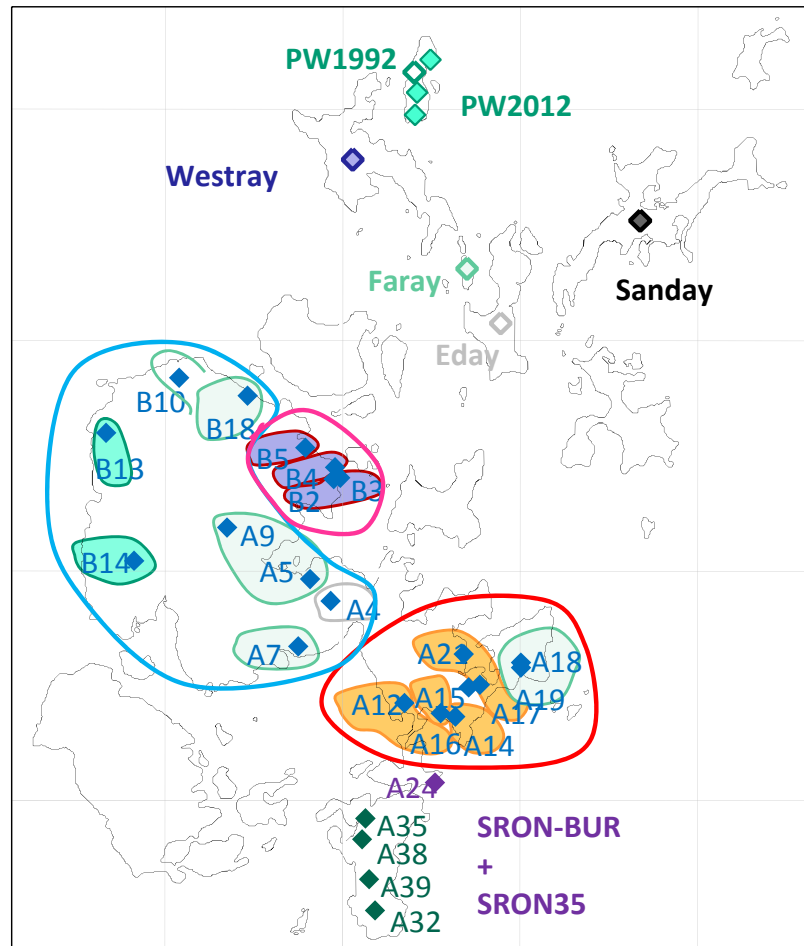


Principal Component Analysis (PCA)
3 axes $\Sigma > 90\%$

Comparaison de la forme de la dent avec les facteurs explicatifs



Différentiation morphologique 2D



Corrélations avec la structure et diversité génétiques ?

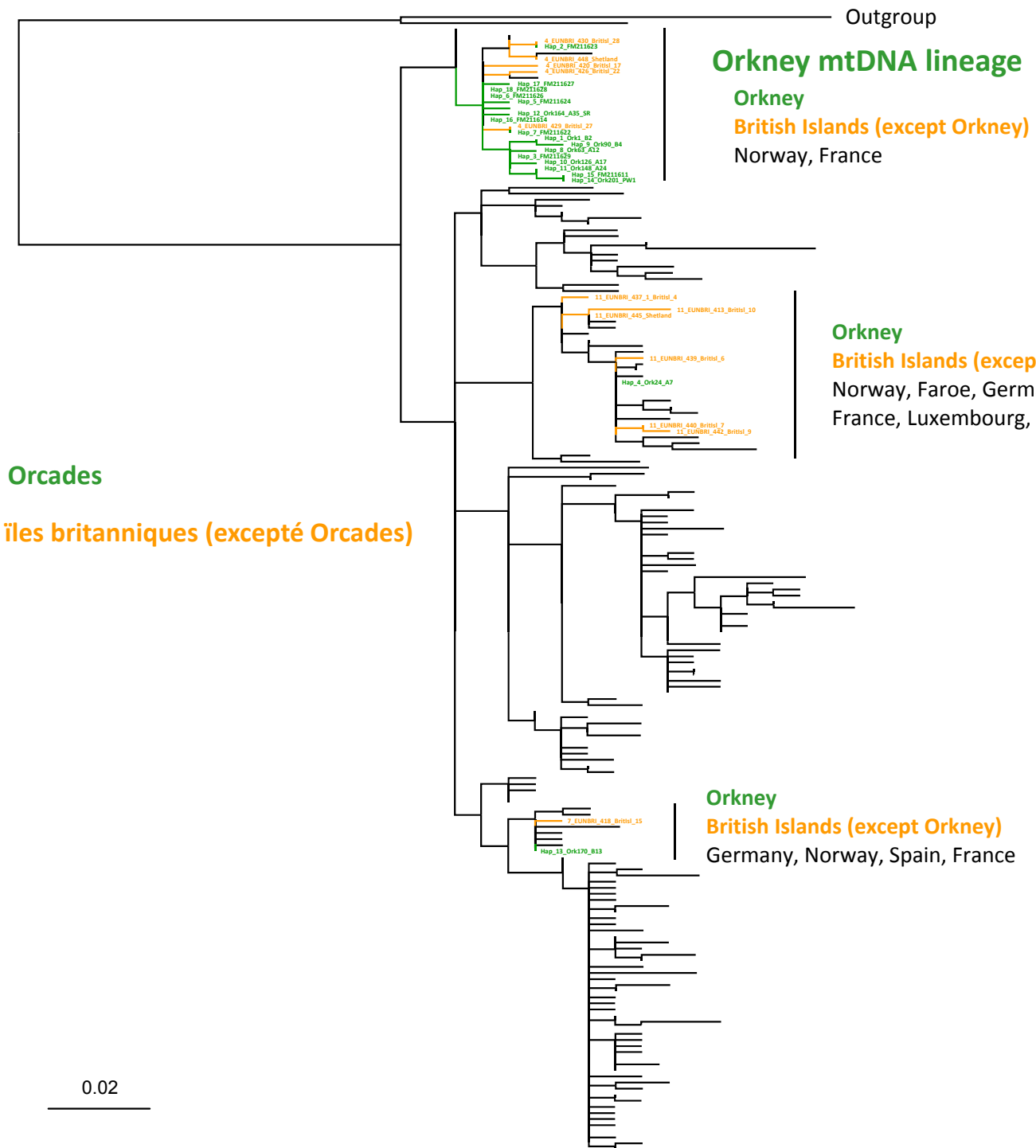
Phylogeographie

D-loop de *Mus musculus domesticus*

Archipel des Orcades : 149 D-loop
18 haplotypes (9 nouveaux)



Phylogeographie



D-loop de *Mus musculus domesticus*

Archipel des Orcades : 149 D-loop
18 haplotypes (9 nouveaux)

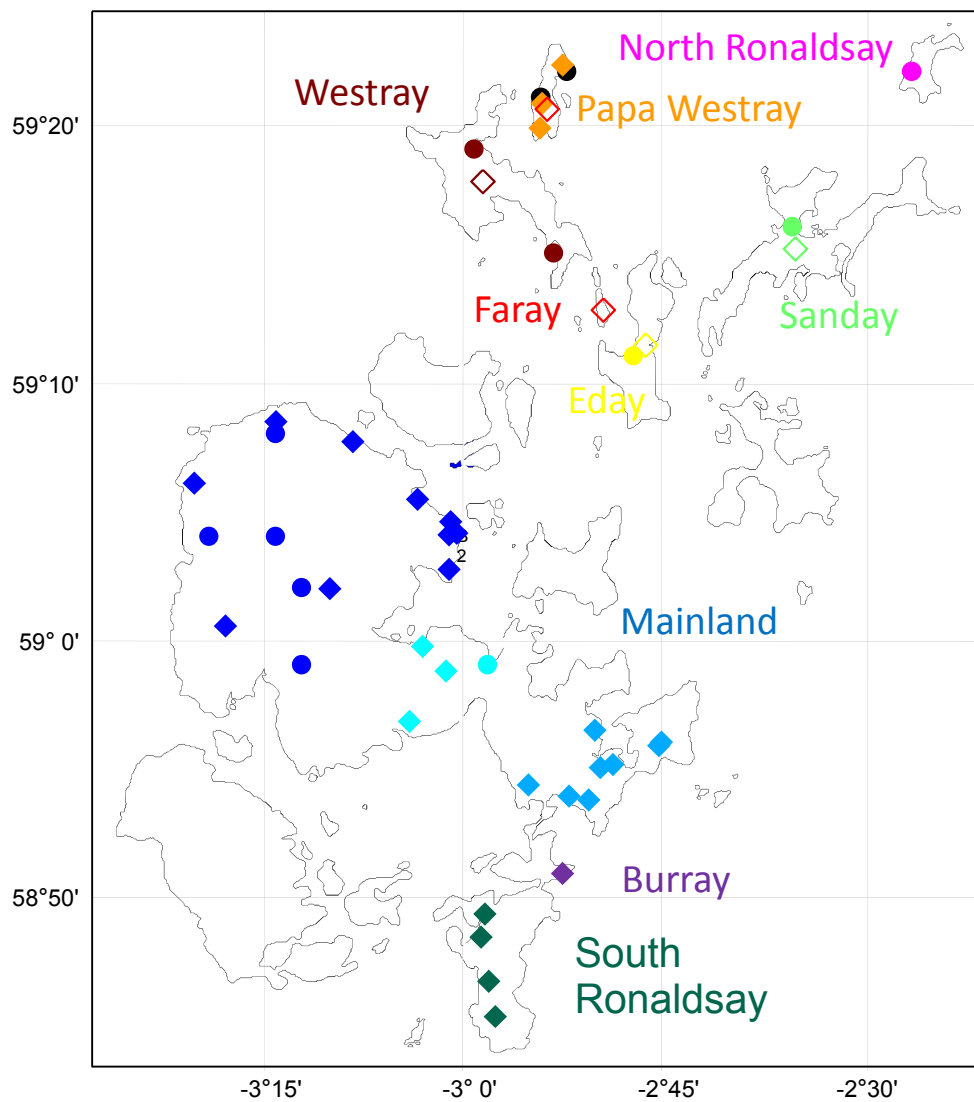
Toujours associés à des haplotypes

- autres îles britanniques

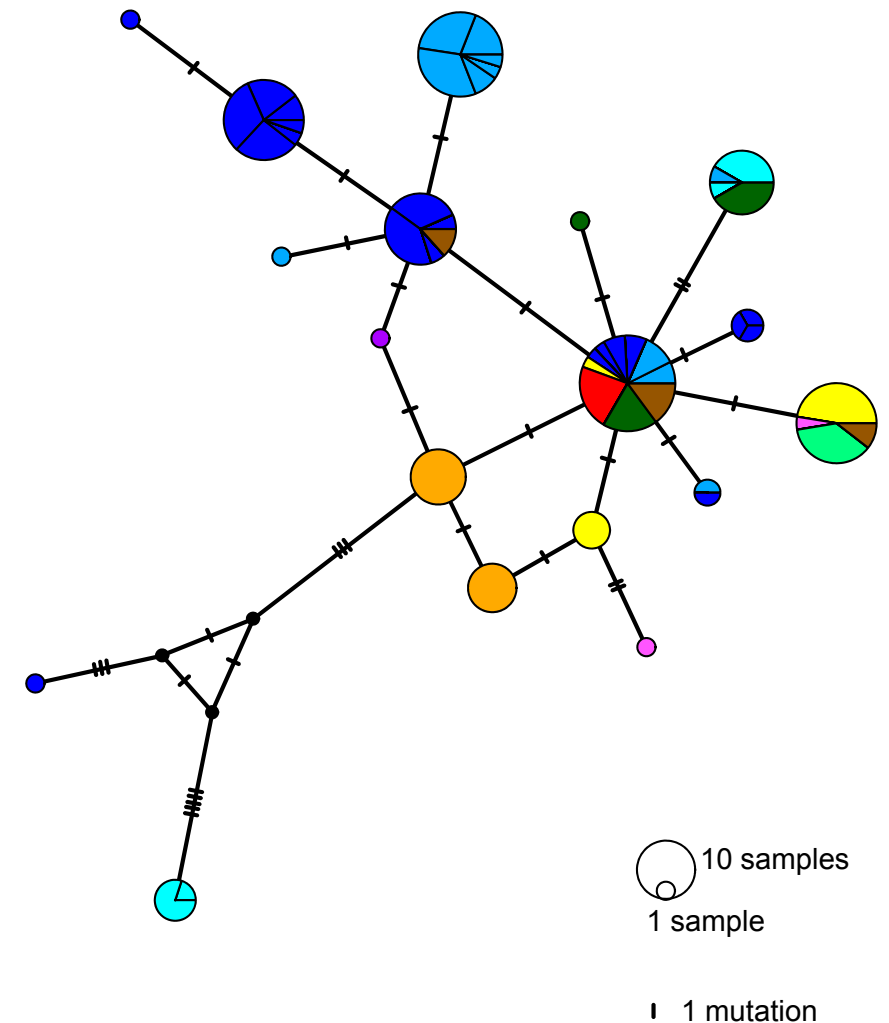
- Europe NO

Les Orcades

Network (149 D-loop sequences)

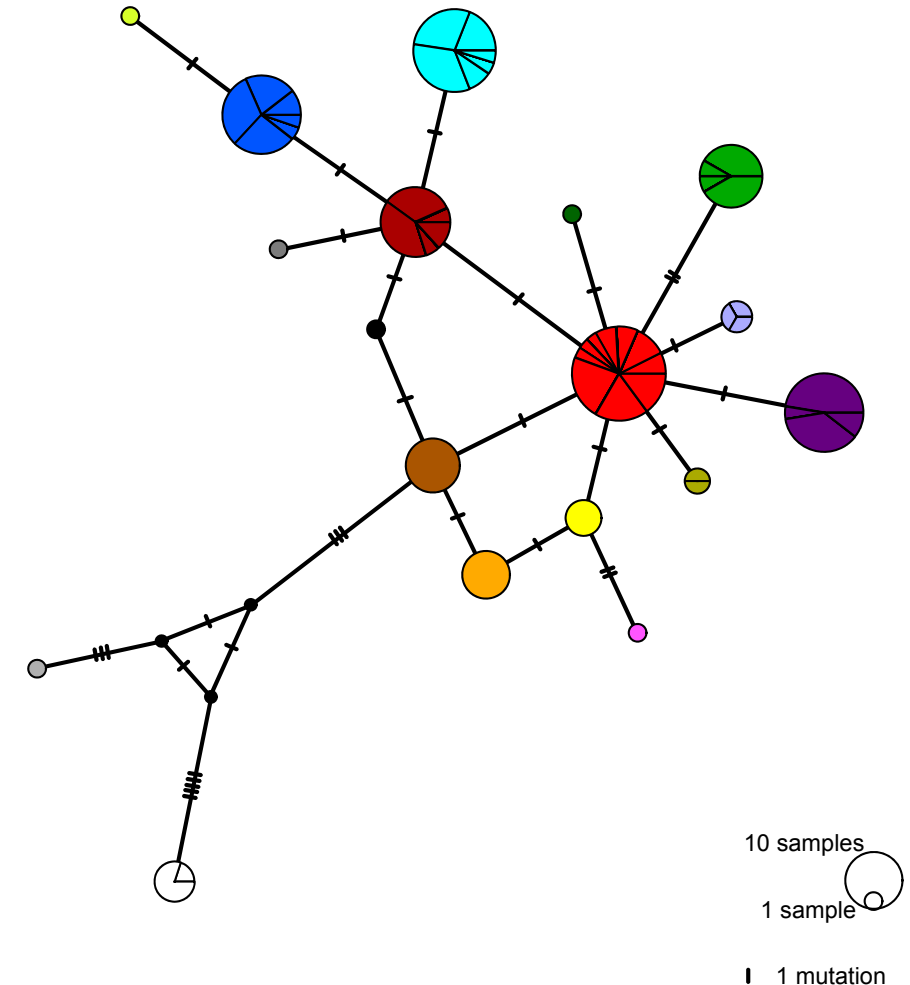
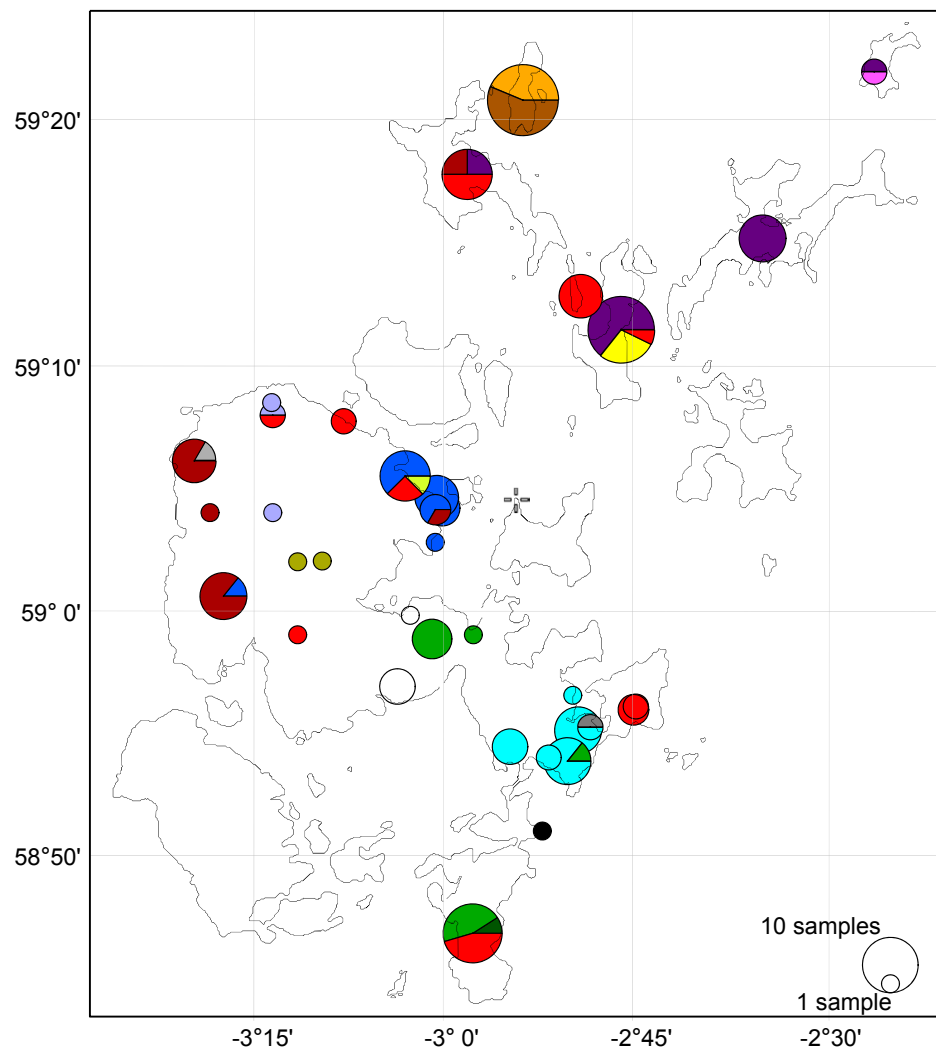


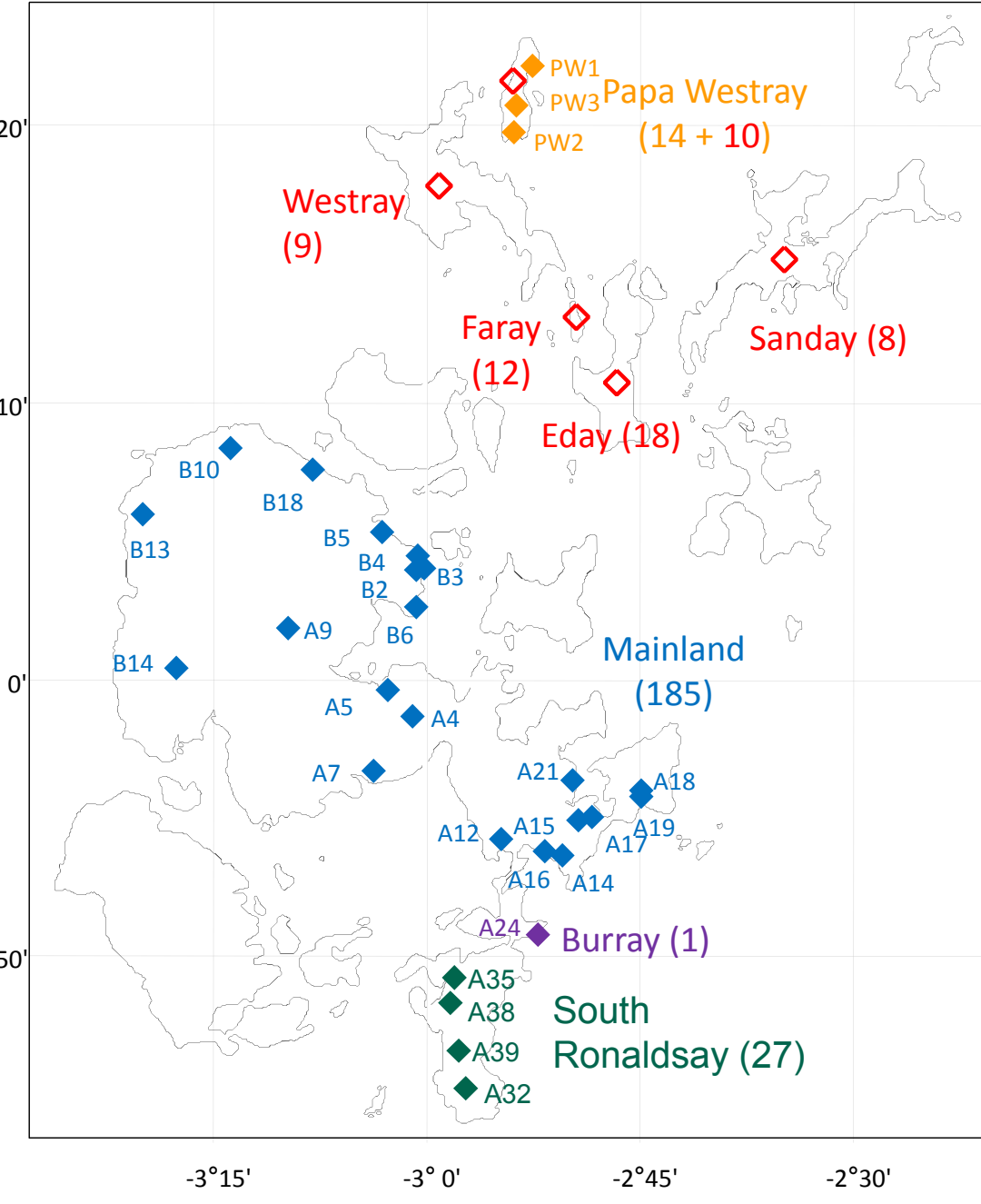
◆ 1992 ◆ 2012 ● séquences publiées



Les Orcades

Network (149 D-loop sequences)





21 microsatellites

7-19 allèles / locus (moyenne 11.4)

Mainland
Loci polymorphes : 21
Moyenne : 9 allèles /locus
Ho : 0.45/ He : 0.63

Ilots (sauf Faray)
Loci polymorphes : 16-21
Moyenne : 3.1-4.7 allèles/locus
Ho : 0.26-0.44 / He : 0.36-0.55

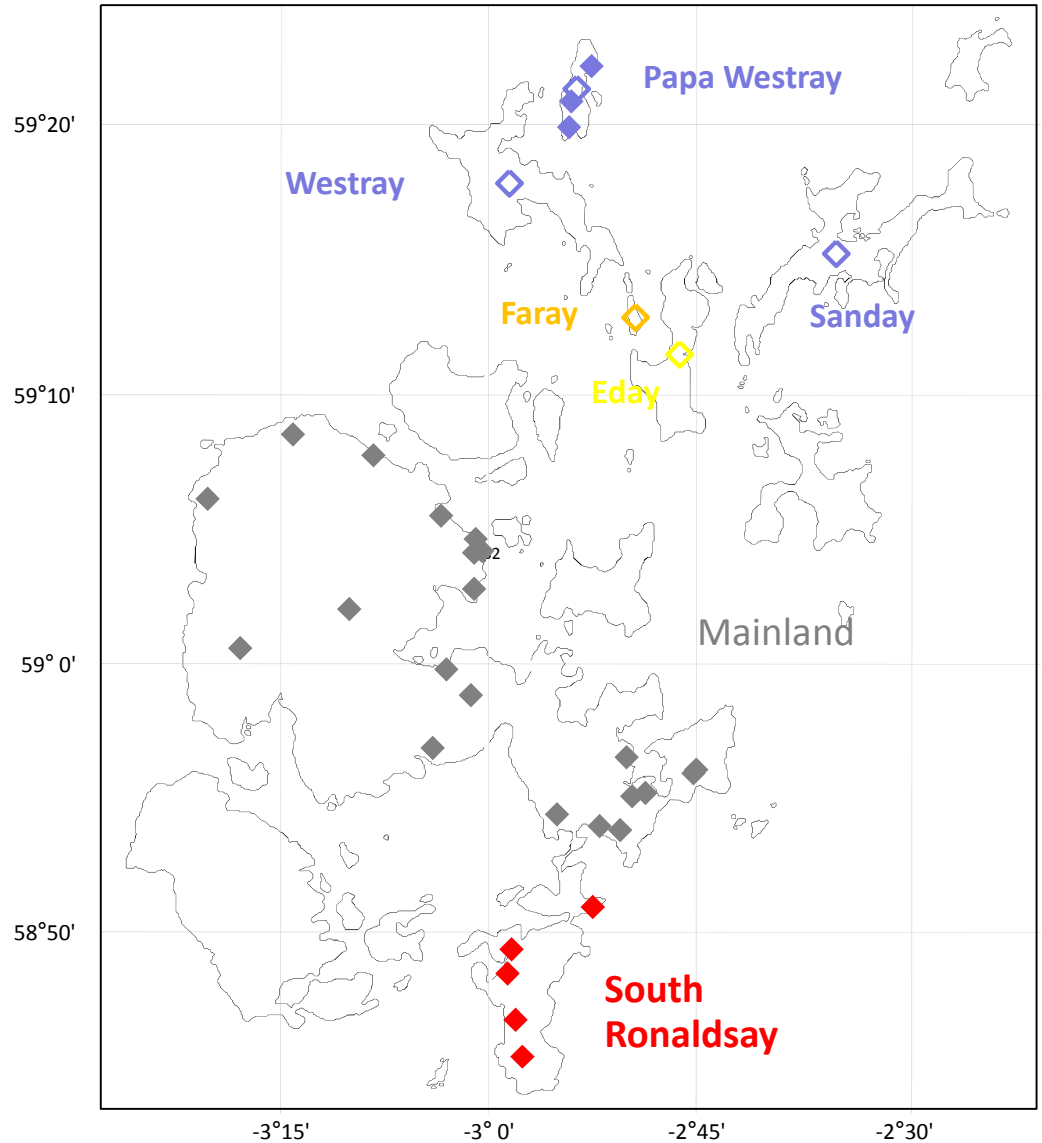
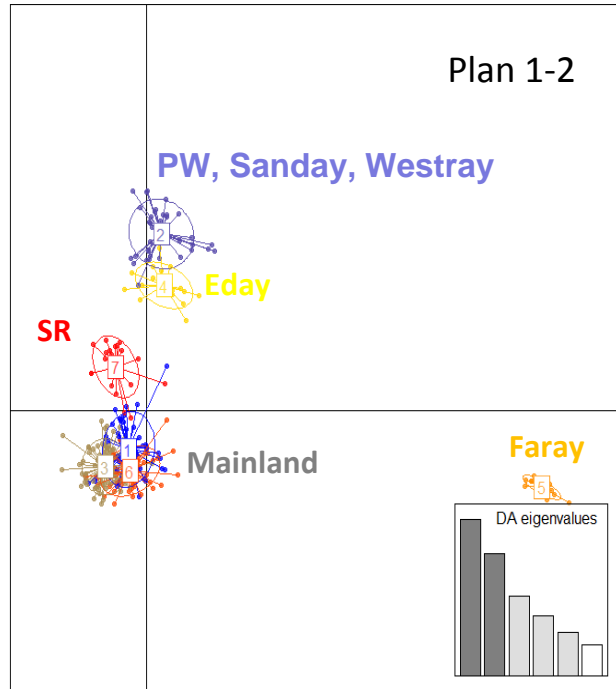
Faray
Loci polymorphes : 9
Moyenne : 1.6 allèles/locus
Ho : 0.06 / He : 0.13

Determination de la structure génétique

- DAPC (adegenet)
- Structure

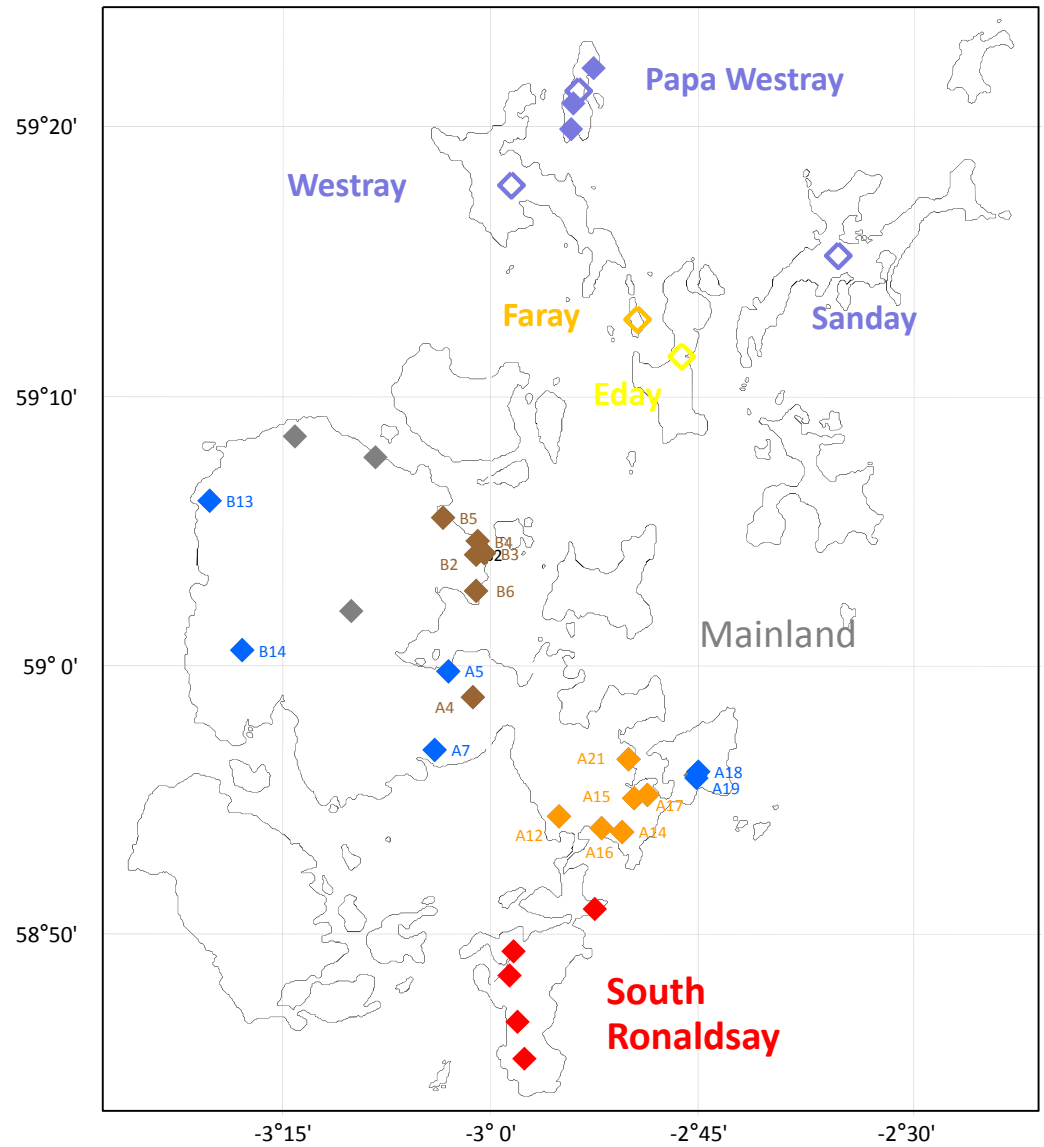
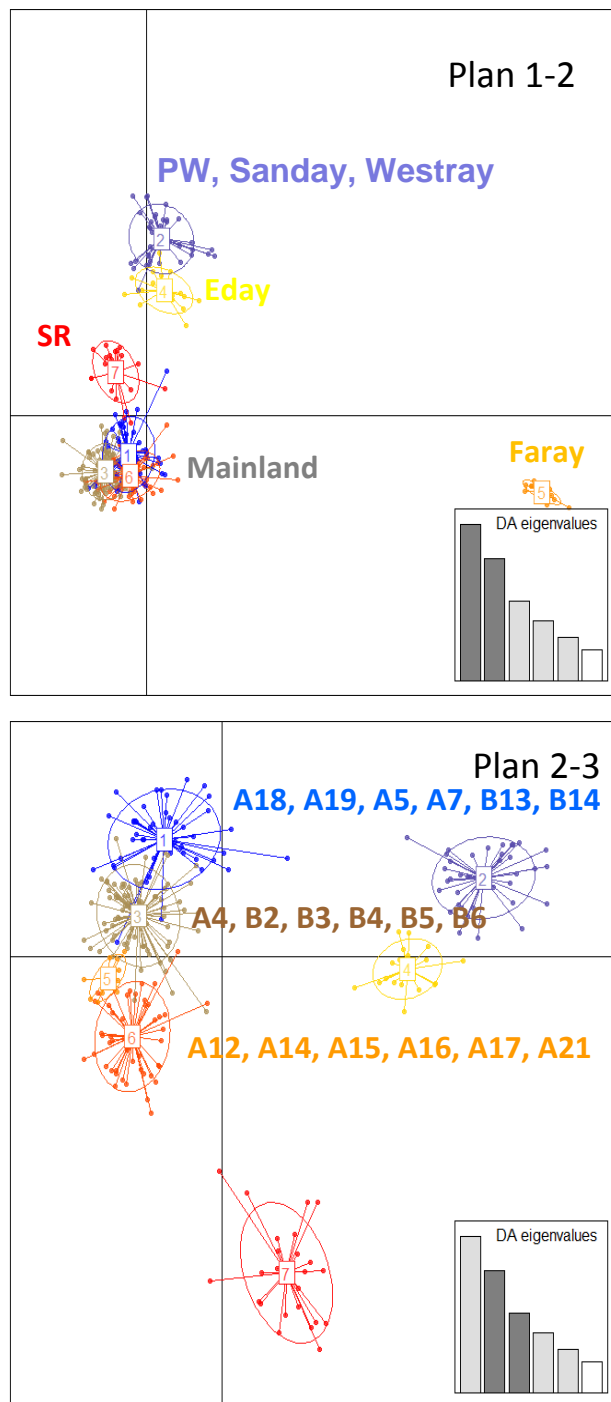
Discriminant analysis of principal components (DAPC)

DAPC « find cluster » K = 7



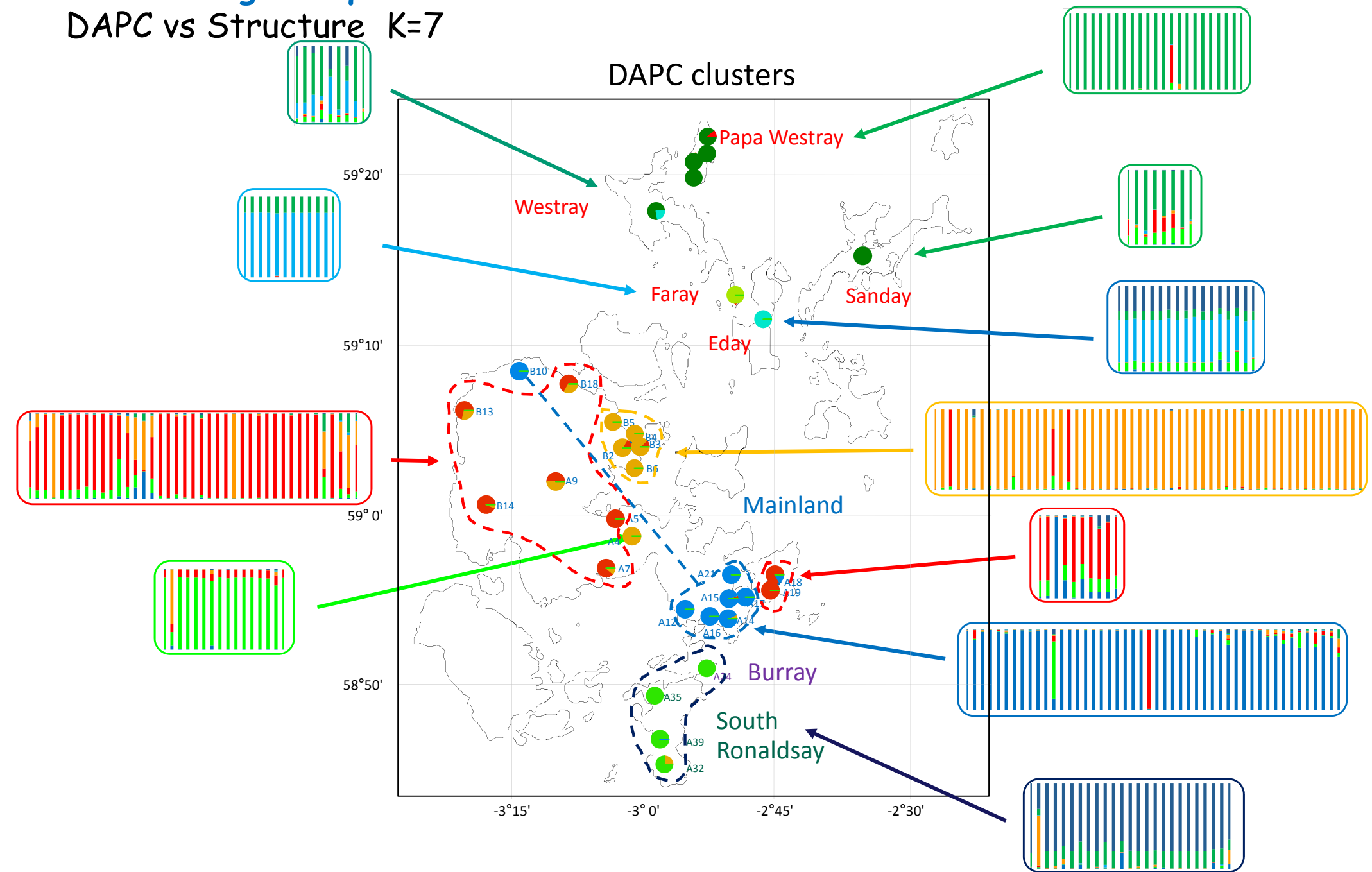
Discriminant analysis of principal components (DAPC)

DAPC « find cluster » K = 7

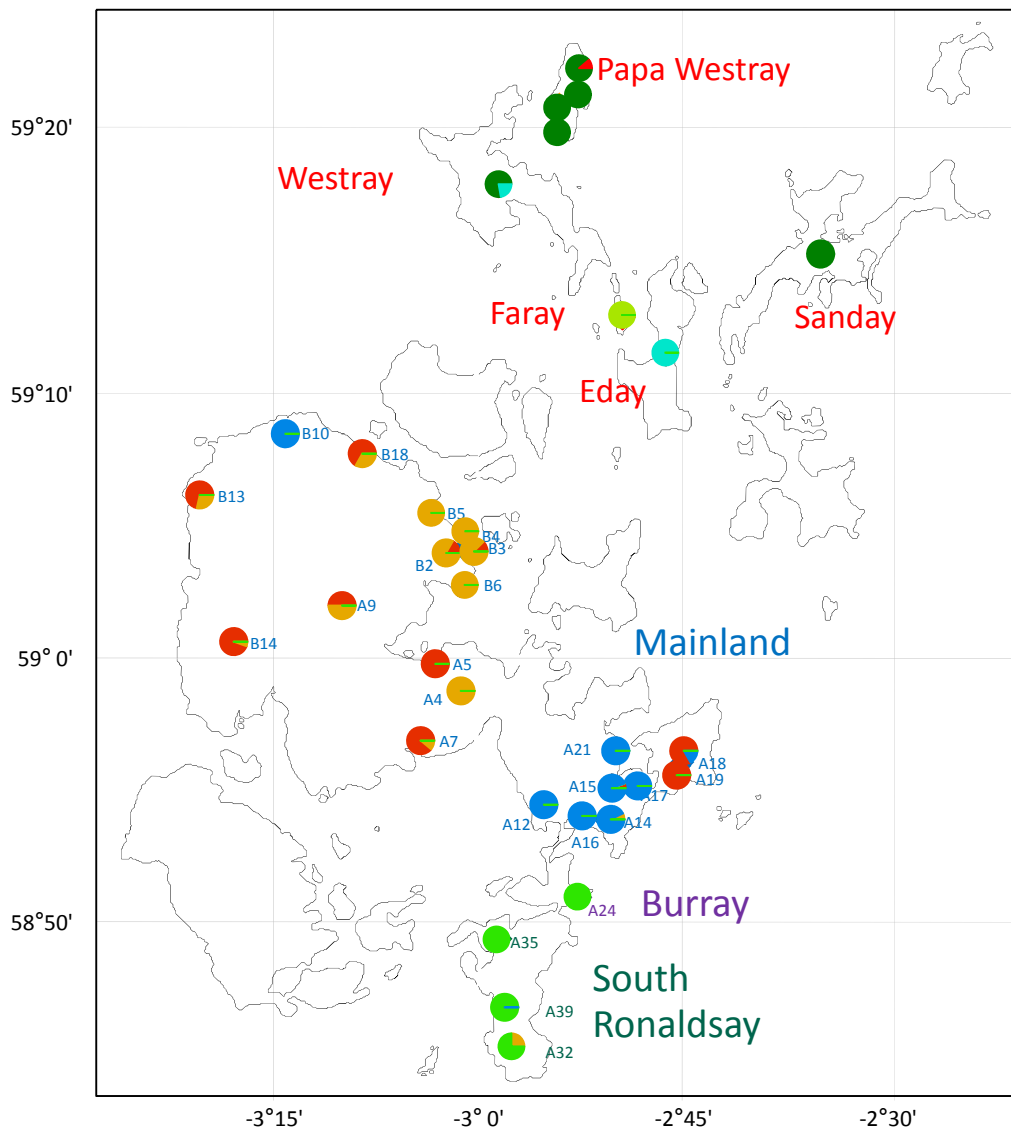


Structure génétique

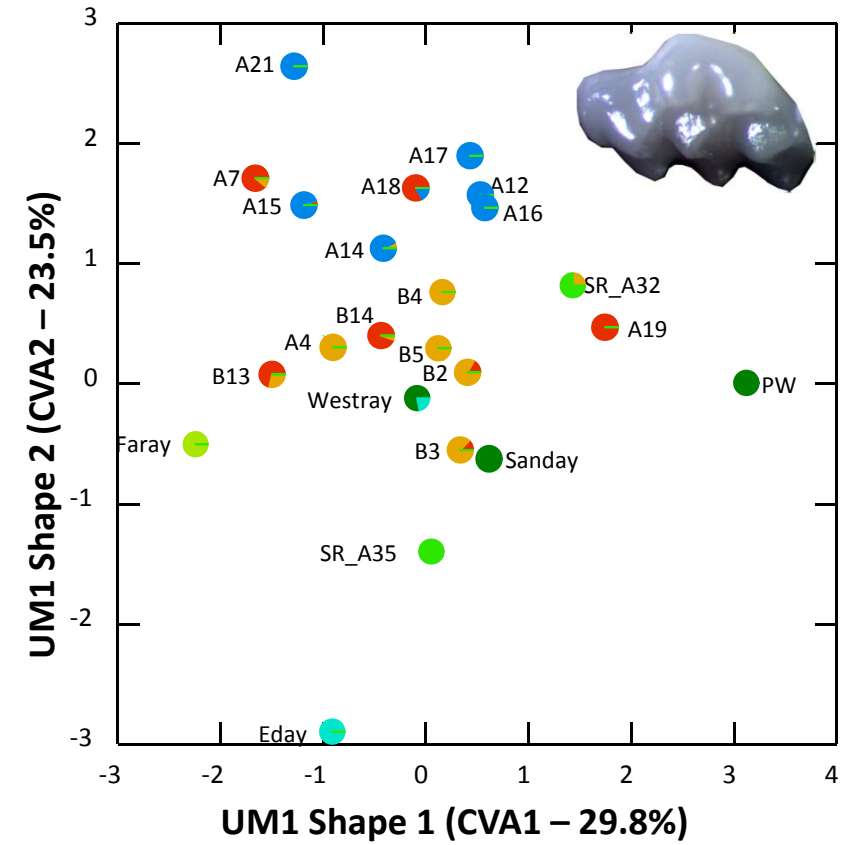
DAPC vs Structure K=7



Evolution morphométrique et génétique



Corrélation
évolution morphologique et moléculaire



Mantel test

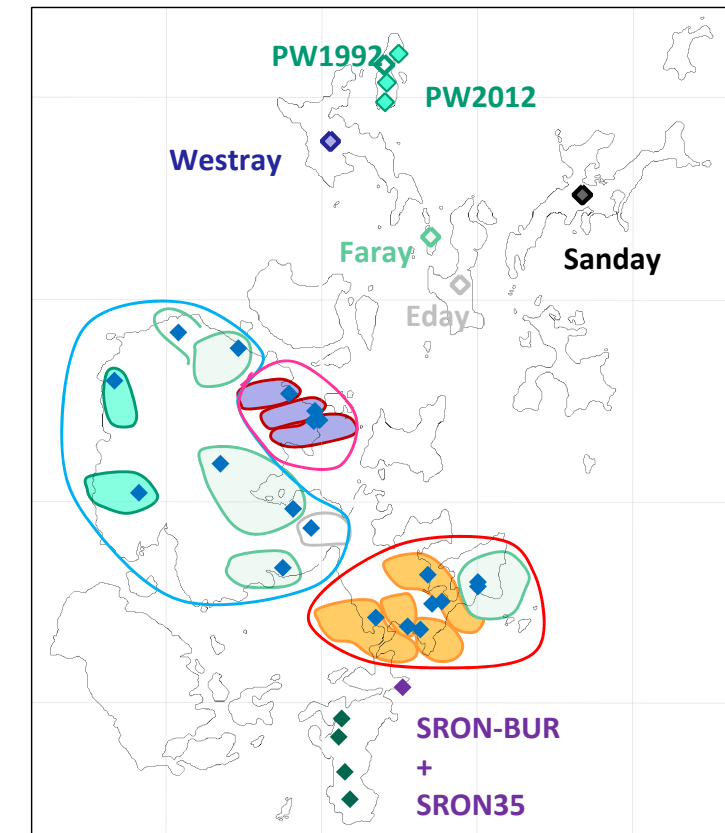
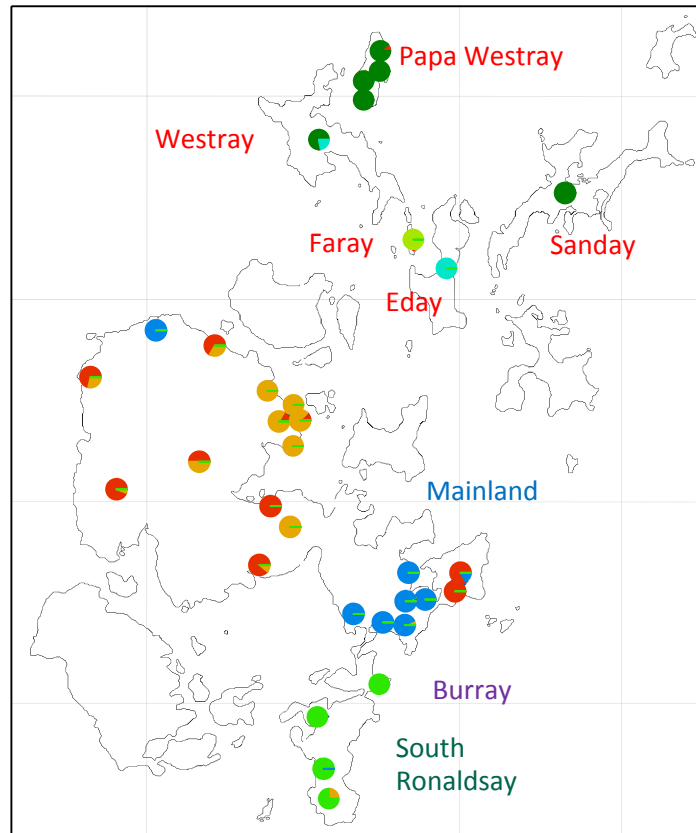
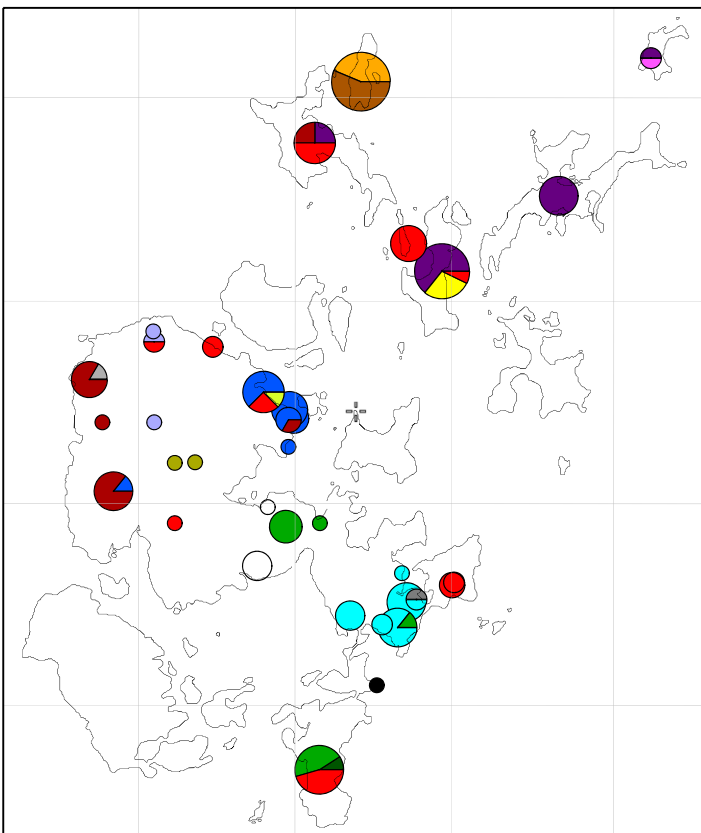
$$\left. \begin{array}{l} \text{Morphométrie(4 CVAs)} \\ \text{Genetique (5 DAPCs)} \end{array} \right\} \begin{array}{l} R = 0.496 \\ P = 0.002 \end{array}$$

$$\left. \begin{array}{l} \text{Morphométrique (4 CVAs)} \\ \text{Genetique (Nei et al.)} \end{array} \right\} \begin{array}{l} R = 0.494 \\ P = 0.0001 \end{array}$$

Mitochondrial data

Microsatellite data

Morphometrical data



- Congruence entre les 3 approches
- Différenciation entre Mainland et les autres îles
- Structure intra-mainland



La souris des Orcades

Conclusions

- Diversification morphologique importante
- La phylogénie 1^{er} facteur explicatif des variations de forme
- Congruence entre les différentes marqueurs
- Structuration génétique

Pespectives

- Analyse morphométrie/molécules au niveau individuel
- Origine de la structure sur Mainland
- Données Radseq :
 - Mainland (84 souris) (Cornell)
 - Papa Westray + South Ronaldsay (~ 20 souris supplémentaires)



Bigtooth field team

Jean-Christophe Auffray

Pascale Chevret

Sylvie Agret

Annie Orth

Josette Catalan

Lionel Hautier

ANR